

第二章 静电场中的导体和电介质

§ 2.1 物质的电性质

§ 2.2 静电场中的导体

§ 2.3 电容与电容器

§ 2.4 电介质

§ 2.5 极化强度矢量P

§ 2.6 电介质中静电场的基本定理

§ 2.7 边值关系和唯一性定理

* § 2.8 电像法

§ 2.1 物质的电性质

1、物质的电性质（回忆与讨论）

按照电荷在物质中移动的难易程度，将物质分为：

- **导体(conductor)** 电阻率 $10^{-8} - 10^{-6} \Omega \cdot m$
 - 导电能力极强的物体
 - 常见的导体有金属、电解质水溶液、电离气体等
 - 导体中存在着大量的自由电子，数密度约为 $n_e \sim 10^{22} / \text{cm}^3$
- **绝缘体(电介质, dielectric)** 电阻率 $10^{6-18} \Omega \cdot m$
 - 导电能力极弱或不能导电的物体
 - 绝缘体有固态、液态和气态。如橡胶、陶瓷、塑料等

- 固态绝缘体中又分为非晶态（如塑料）和晶态（如云母）两类

■ 半导体(semiconductor) 电阻率 $10^{-6} - 10^6 \Omega \cdot m$

- 导电能力介于导体和绝缘体之间；自由电子
 $n_e \sim 10^{16} / \text{cm}^3$
- 如硅、锗、硒等等，半导体的电阻率随温度不同而明显变化

■ 超导体(superconductor)

某些物质当温度降低到某一温度 T_c 时，它的电阻率会几乎突然地消失。这种现象称为超导电性，这类物质称为超导体，温度 T_c 就叫做超导体的临界温度。

不同的超导体具有不同的临界温度。迄今我们知道大约有**20多种元素**，**几百种合金和金属化合物**是超导体，它们的**临界温度的范围从0.12K~150K**（如钇钡铜氧化物）。

物质导电取决于有载流子！

载流子——可以自由移动的带电物质微粒。

- 金属导体：原子最外层的价电子, 自由电子
- 电解质：载流子是正、负离子
- 电离气体：载流子是电子和正、负离子
- **绝缘材料**：只有微量自由电子、本征离子、杂质离子
- 半导体：载流子为
 - n型**半导体中的自由电子；
 - p型**半导体中的空穴
- 超导体：载流子为电子对，又称**库珀对**

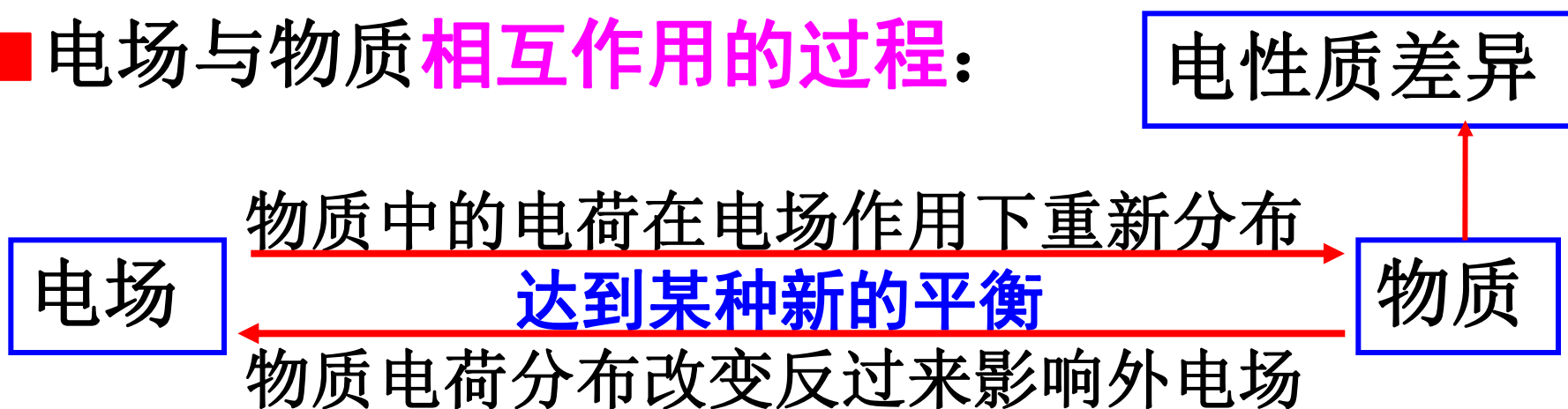
2、电场对物质（电荷系统）的作用

■ 物质存在形式：

- 由基本粒子乃至原子、分子构成的实体存在形式
- 以场的形式存在，如电场，具有能量，能量交换
- 物质的**实体**与**场**是物质存在的**两种基本形式**。

■ 物质（以下指实体）的**结构**：是**复杂的电荷系统**，由原子/分子/离子构成。

■ 电场与物质**相互作用的过程**：



■ 电场对物质作用  电场对物质内部电荷的作用

■ 外场对物质作用力：

$$F = qE. \quad (2.1.1)$$

$$F = \iiint_V \rho_e E dV; \quad F = \iint_S \sigma_e E dS; \quad F = \int_L \lambda_e E dl. \quad (2.1.2)$$

注意！

■ 电场 E 为外场，即施力带电体产生的电场，不应包括受力带电体的电场；

■ 受力带电体已经 **不限于试探电荷**，所以受力带电体对施力电荷的分布，即对施力带电体的电场存在影响；

■ E 是经过受力带电体影响之后的施力带电体的电场。

■ $\therefore E = E_t - E_1$ (2.1.3)

- E_t 施力和受力带电体的总电场
- E_1 为受力带电体产生的电场
- E 为施力带电体的电场，即外场

■ 讨论（难点！）

- 实际问题中， E_t 常易于求得，只要求得 E_1 ，可得 E 。对体电荷和面电荷受力带电体这两种情况，我们只要从 E_t 中分别减去体电荷元和面电荷元在自身处的贡献即可。
- 这样做的后果是将受力带电体各部分的内力也计入到总力 F 之中。幸运的是，由于内力相互抵消，总力 F 即是所要求的力。

因为：

- **体电荷**： $E_1(r) = \rho_e r / (3\varepsilon_0)$, $r \rightarrow 0 \Rightarrow E_1 \rightarrow 0$
- **面电荷**： $E_1 = \pm \sigma_e / (2\varepsilon_0)$ (见下面例**2.1**)
- **线电荷**： $E_1 = \lambda_e / 2\pi\varepsilon_0 r$, $r \rightarrow 0 \Rightarrow E_1 \rightarrow \infty$

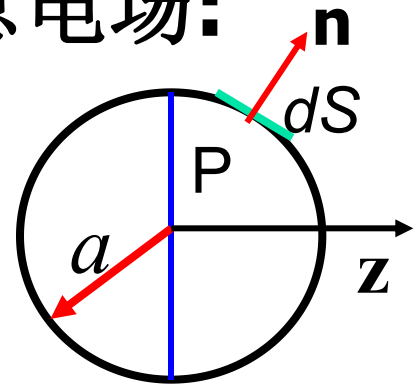
所以：

- 对**受力带电体**的情况： $E = E_t$ ；
- 对**受力带电面**的： $E = E_t - E_1$ ；
- 对**线电荷**：**不能利用** $E = E_t - E_1$

[例2.1] 将一带电量为 Q 、半径为 a 的均匀带电球面切成两半，求两半球面间的静电力。

[解] 由高斯定理求得球面两侧的总电场：

$$E_t = \begin{cases} \sigma_e / \varepsilon_0, & (r = a + 0); \\ 0, & (r = a - 0); \end{cases}$$



式中 $\sigma_e = Q / (4\pi a^2)$ 。

由受作用面元在自身两侧产生的电场为：

$$E_1 = \begin{cases} \sigma_e / (2\varepsilon_0), & (r = a + 0); \\ -\sigma_e / (2\varepsilon_0), & (r = a - 0). \end{cases}$$

电场仅有径向分量：

$$E = E_t - E_1 = \sigma_e / (2\varepsilon_0) \quad (r = a)$$

■ 取球坐标，使 z 轴与切割面垂直，则有：

$$E = \sigma_e \hat{r} / (2\varepsilon_0)$$

代入式 (2.1.2) 求得两半球面之间的静电力为

$$\mathbf{F} = \iint_s \sigma_e \mathbf{E} dS = \iint_s \frac{\sigma_e^2}{2\varepsilon_0} \hat{r} dS$$

■ 由对称性分析可知，上述作用力只有 z 分量：

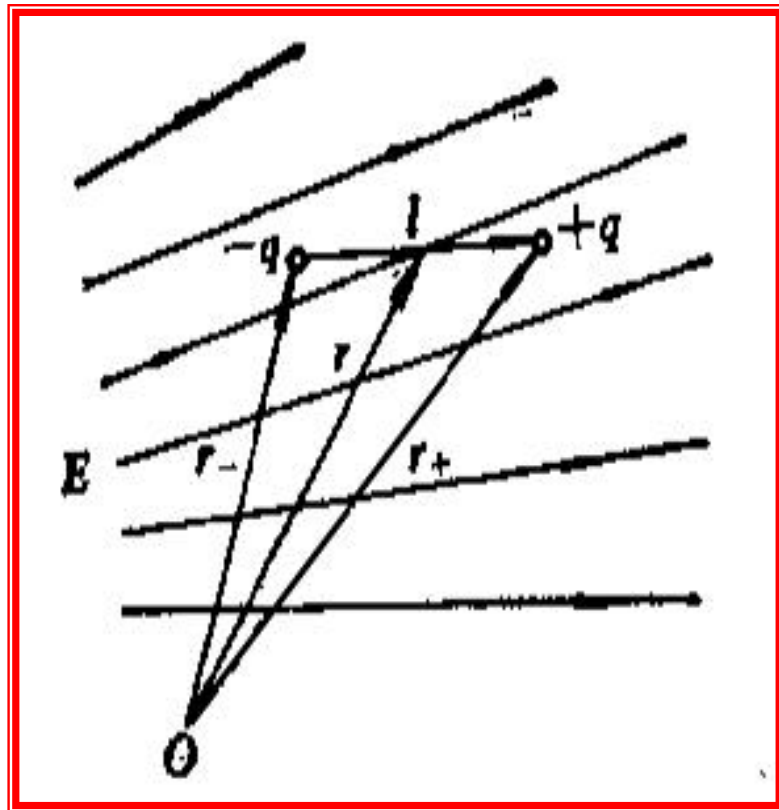
$$F = F_z = \frac{a^2 \sigma_e^2}{2\varepsilon_0} \int_0^{\pi/2} \cos \theta \sin \theta d\theta \int_0^{2\pi} d\phi = \frac{\pi a^2 \sigma_e^2}{2\varepsilon_0} = \frac{Q^2}{32\pi\varepsilon_0 a^2}$$

该力为正，表明两半球间的静电力为排斥力。

[例2.2] 右下图所示的电偶极子由一对相距为 l 的等量异号电荷 $\pm q$ 构成，两个电荷的位置分别为 r_{\pm} ，相应电偶极矩为 $p = ql = q(r_+ - r_-)$ 。求该电偶极子在外场 E 中所受的力 F 及所受的力矩 L 。

[解] 设在 r_- 与 r_+ 处的外电场强度分别为 E_1 和 E_2 ，则有

$$F = qE_2 - qE_1 = qE(r_+) - qE(r_-).$$



■ 设 r 为原点到电偶极子中点的矢径，且 $l \ll r$ ，
则由泰勒展开取头两项得（难点！）

$$F = q[E(r + l/2) - E(r - l/2)] \approx q(l \cdot \nabla)E(r)$$

$$r_+ = (r + l/2) = (x + \Delta x/2, y + \Delta y/2, z + \Delta z/2)$$

◆ 即 $F = (p \cdot \nabla)E(r)$ (2.1.4)

■ 在外电场中受的力矩 L （以电偶极子中点为参考点）：

$$L = (r_+ - r) \times qE_2 - (r_- - r) \times qE_1 \approx ql \times E$$

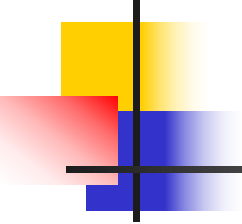
即 $L = p \times E$ (2.1.5)

在推导中，近似取： $E_1 = E_2 = E$ （中点处电场）。

§ 2.2 静电场中的导体

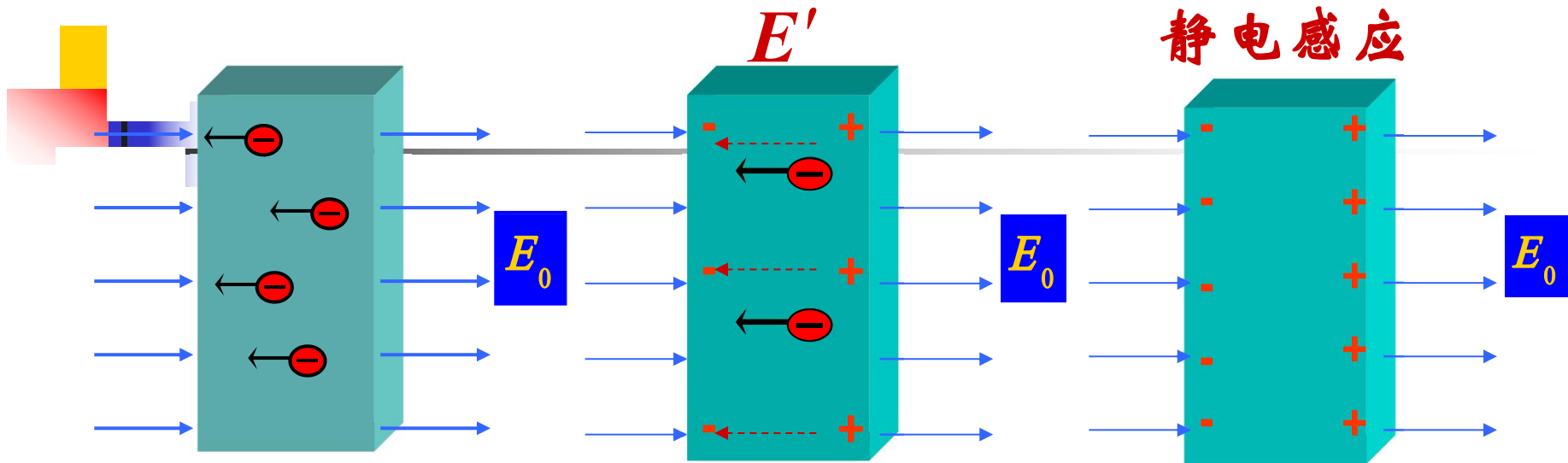
1. 导体达到静电平衡的条件

- 导体的**特点**是体内有自由的戴流子，静电场会**改变**导体内电荷的分布**→**电荷分布的改变**将影响**电场的分布**→****使得导体内电场强度处处为零**，则自由电荷不再运动**→**我们说**导体达到静电平衡**。
- 这时导体内**自由电荷分布**以及**导体内、外的电场分布****不再随时间变化**。这个过程进行得很快，大约在 $10^{-8} - 10^{-10}$ sec就完成了。

- 
-
- 对于**不存在非静电力**情况下的均匀、各向同性导体，达到**静电平衡的条件**是**导体内部电场强度处处为零**。

以上所采用的是**演绎法**！即从基本定律出发，通过逻辑推理，得到**导体**达到静电平衡的条件。

导体的静电平衡条件 (看演示2.1)



$$F = qE = -eE$$

导体内部电场

导体刚放入匀强电场中

$$E = E_0 + E'$$

感应电场

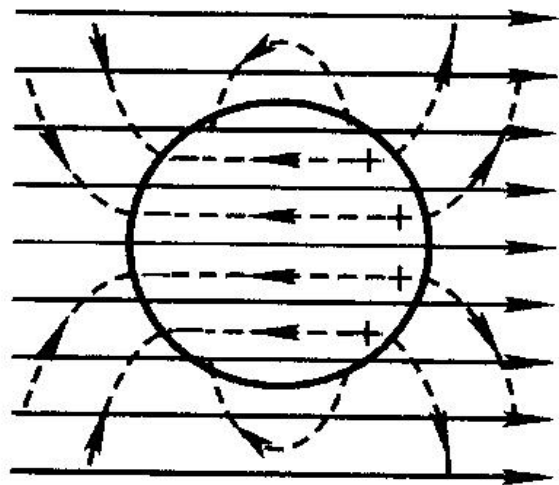
只要E不为零，自由电子作定向运动

静电感应

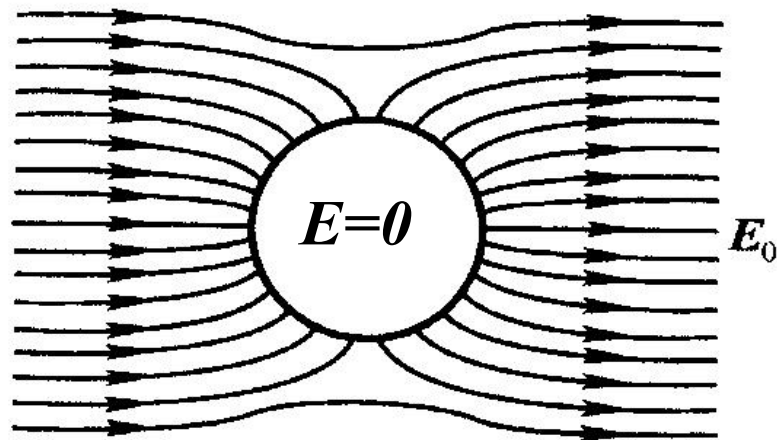
$$E = 0,$$

$$F = 0.$$

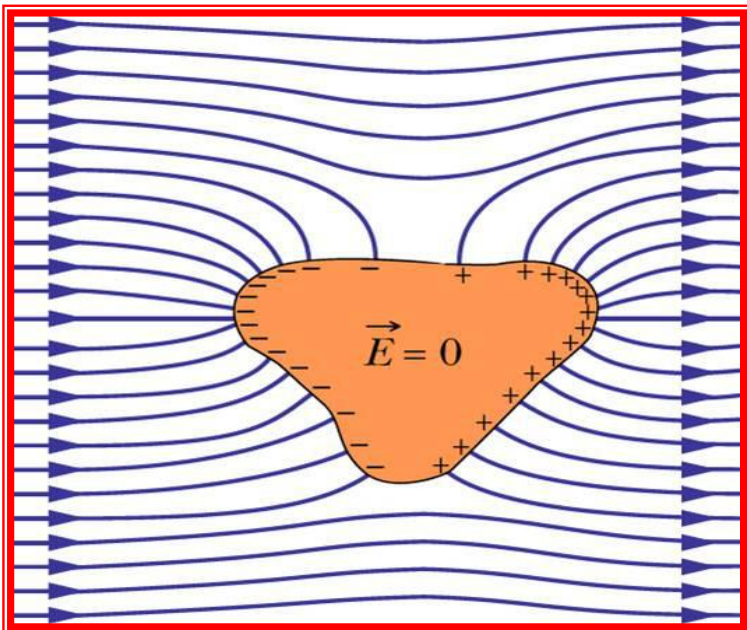
改变电荷分布，产生附加场 E'



(a) 感应电荷在球内的场强与外场源
在球内的场强大小相等方向相反



(b) 合电场的电场线



(c)

静电场中的导体球内部和周围的电场分布

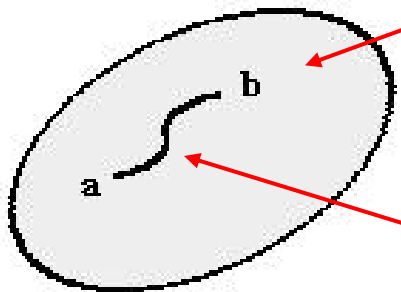
2. 处在静电平衡条件下导体的电性质

(1) 内部电场

导体内部电场 $\mathbf{E} = \mathbf{E}_0 + \mathbf{E}' = 0$ (静电平衡条件)

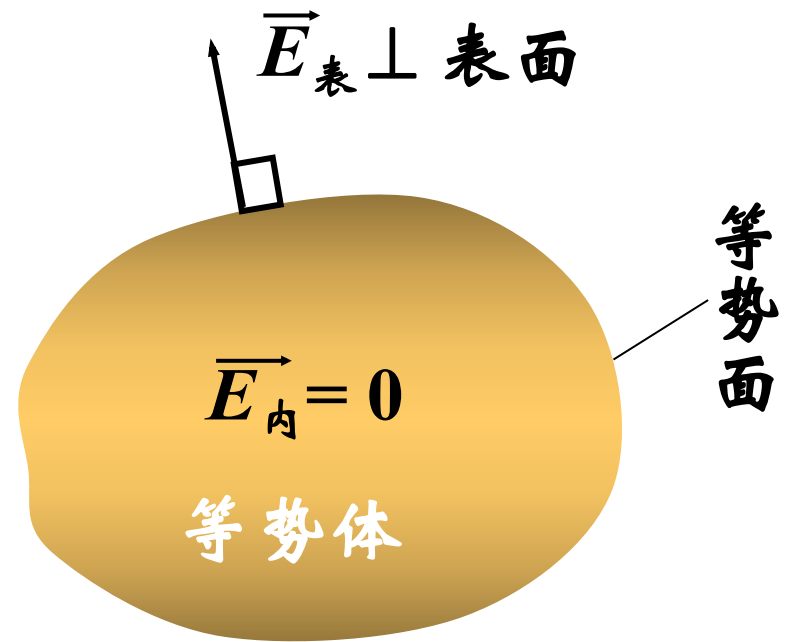
(2) 电势分布

导体内部任意两点间电势差为零 \rightarrow 各点等电势 \rightarrow 导体为等势体 \rightarrow 表面为等势面



导体内部 $\mathbf{E} = 0$

$$U_{ab} = \int_a^b \mathbf{E} \cdot d\mathbf{l} = 0$$



静电平衡时的导体

(3) 整体电荷分布

实心导体： ■ 当带电导体处于静电平衡状态时，**导体内部处处没有净电荷存在**，电荷密度处处为零 $\rho_e = 0$ 。

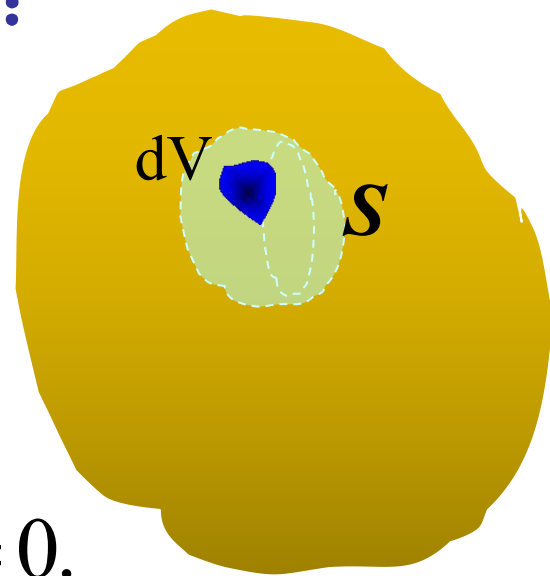
■ **电荷只分布在导体表面**。导体表面电荷的电荷层一般只有**1至2**个原子的厚度。

【证明】：在导体内任取体积元 dV ，再取任一闭合曲面 S 包围它，**由高斯定理**：

$$\varepsilon_0 \oiint_S \mathbf{E} \cdot d\mathbf{S} = \sum_i q_i,$$

$$\because \mathbf{E} = 0, \quad \therefore \sum_i q_i = \iiint_V \rho_e dV = 0.$$

$$\because \text{体积元 } dV \text{ 任取, 即 } V \text{ 任取} \quad \therefore \rho_e = 0.$$



导体空腔（腔内没有带电体情况）

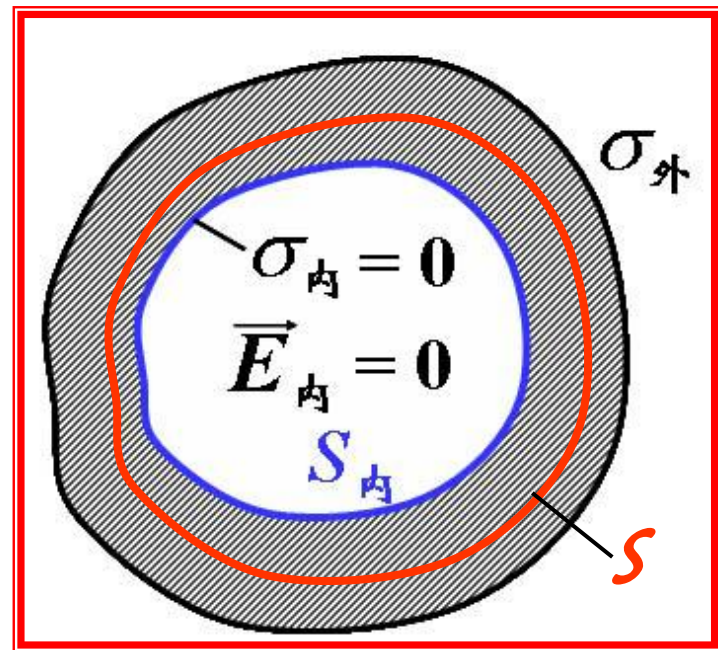
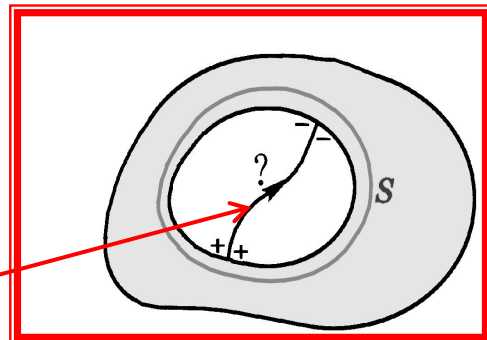
- 包围导体空腔的导体壳**内表面**上处处没有电荷，电荷分布在导体**外表面**，空腔内处处 $E=0$ ，**空腔内处处电势相等**。

【证明】在导体中包围空腔选取高斯面 S ,

则： $\because \oiint_S \vec{E}_{\text{导内}} \cdot d\vec{S} = 0, \therefore \oiint_{S_{\text{内}}} \sigma_{\text{内}} \cdot d\vec{S} = 0,$

若 $\sigma_{\text{内}} \neq 0$ ，则 $\sigma_{\text{内}}$ 必有正负，便有 E 线从正电荷到负电荷，导体内表面出现了**电势差**。这与导体为等势体矛盾， \therefore 只能 $\sigma_{\text{内}} = 0$ ，且腔内无 E 线。

$$\because E_{\text{内}} = 0 \rightarrow \Delta U = \int_a^b E \cdot dl = 0.$$

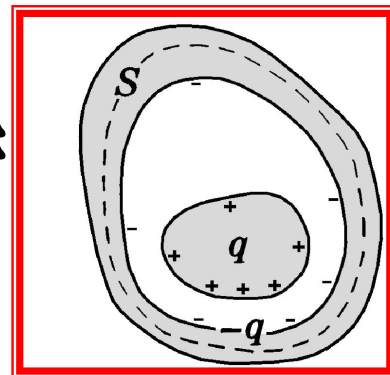


导体空腔（腔内有带电荷 q 情况）

- 必有 $\sigma_{\text{内}} \neq 0$ ，且 $q_{\text{内表}} = -q$ ， $\sigma_{\text{外}}$ 可不为0

[证明] 在导体中包围空腔选取高斯面 S ：

$$\oiint_S \vec{E}_{\text{导体}} \cdot d\vec{S} = 0 = \frac{1}{\epsilon_0} (q + q_{\text{内表}})$$

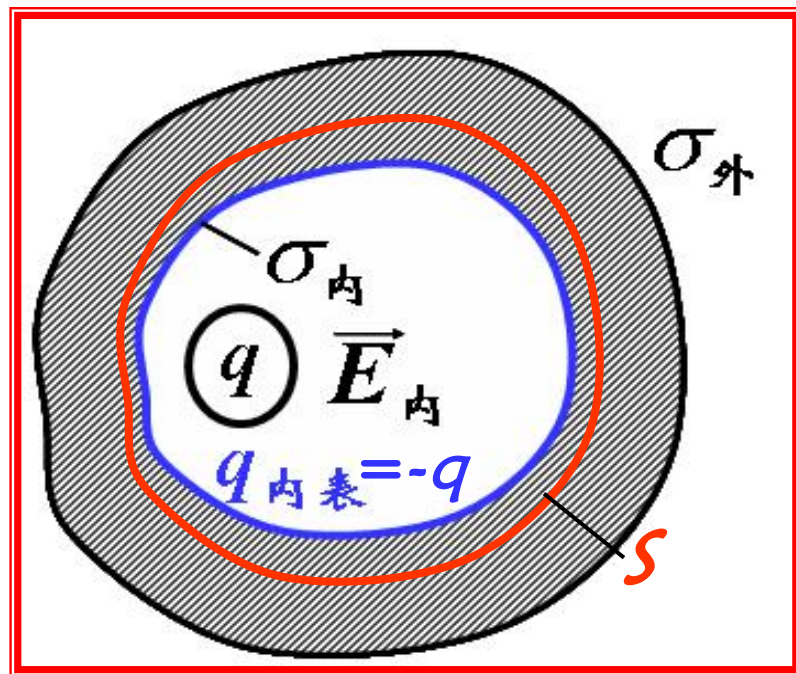


$$\therefore q_{\text{内表}} = -q,$$

$$\sigma_{\text{内}} \neq 0,$$

$$E_{\text{内}} \neq 0.$$

导体内表面上所带电荷与腔内电荷的代数和为零。



(4) 表面场强

导体表面附近的场强方向与表面垂直，大小

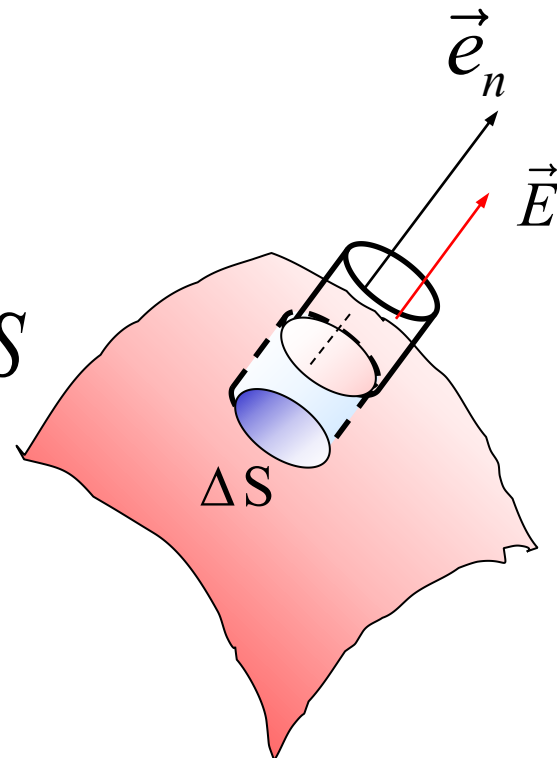
为 σ_e/ϵ_0

[证明] 1) 方向：如不垂直， E 有切向分量，电荷受力将移动→没有达到静电平衡； 2) 大小：取高斯面如下图

$$\Phi_E = \oiint_S \mathbf{E} \cdot d\mathbf{S} = \frac{1}{\epsilon_0} \sum_{S\text{内}} q_i = \sigma_e \Delta S / \epsilon_0 ,$$

$$\text{又 } \iint_{\text{上底}} \mathbf{E} \cdot d\mathbf{S} + \iint_{\text{下底}} \mathbf{E} \cdot d\mathbf{S} + \iint_{\text{侧面}} \mathbf{E} \cdot d\mathbf{S} = E \Delta S$$

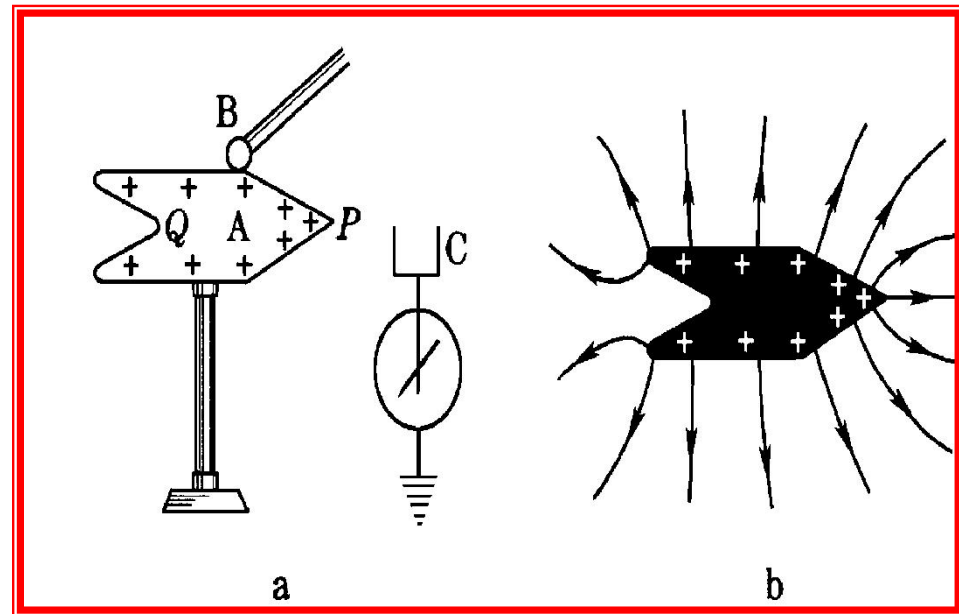
$$\therefore E = \sigma_e / \epsilon_0 , \quad \mathbf{E} = \frac{\sigma_e}{\epsilon_0} \mathbf{n} .$$



(5) 表面电荷分布（回忆与讨论）

- 孤立导体表面的面电荷分布很复杂；
- 分布与外表面曲率和导体形状有关；
- 面电荷密度与曲率之间并不存在单一的函数关系。

- 导体表面凸出而尖锐的地方(曲率较大), 电荷面密度较大；
- 导体表面平坦的地方(曲率较小), 电荷面密度较小；
- 导体表面凹进去的地方(曲率为负), 电荷面密度更小。



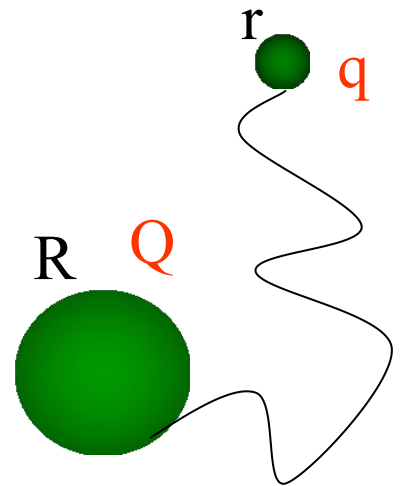
[例]半径分别为 R 和 r ($R > r$)导体球放置在相距无限远的两个地方，中间用**细导线连接**。导体球分别带电 Q 和 q ，求两球表面电荷面密度与曲率的关系。（**思考题**）

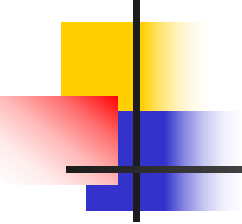
[解] 两个导体所组成的整体可看成是一个孤立导体系统，**U相等**，每个球可近似的看作为孤立导体，**球表面电荷分布均匀**，则两球的电势为：

$$U_R = U_r = \frac{1}{4\pi\epsilon_0} \frac{Q}{R} = \frac{1}{4\pi\epsilon_0} \frac{q}{r},$$

$$\frac{Q}{q} = \frac{R}{r}, \quad \frac{4\pi R^2 \sigma_R}{4\pi r^2 \sigma_r} = \frac{R}{r},$$

$$\frac{\sigma_R}{\sigma_r} = \frac{r}{R}. \quad \text{电荷面密度与半径成反比}$$





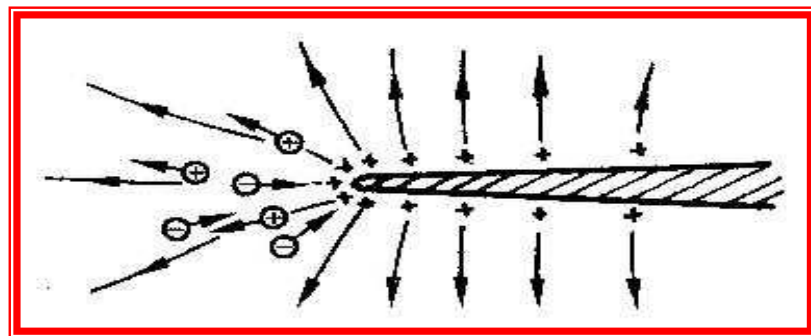
讨论题:

设无穷远处电势 $U_{\infty}=0$ ，与仪器的外壳接地的电势 $U_{地}=0$ 是否相容？

3. 导体在静电场中性质的应用 (演示2.2-2.7)

尖端放电 曲率大, σ_e 大, $E = \sigma_e/\epsilon_0$ 大

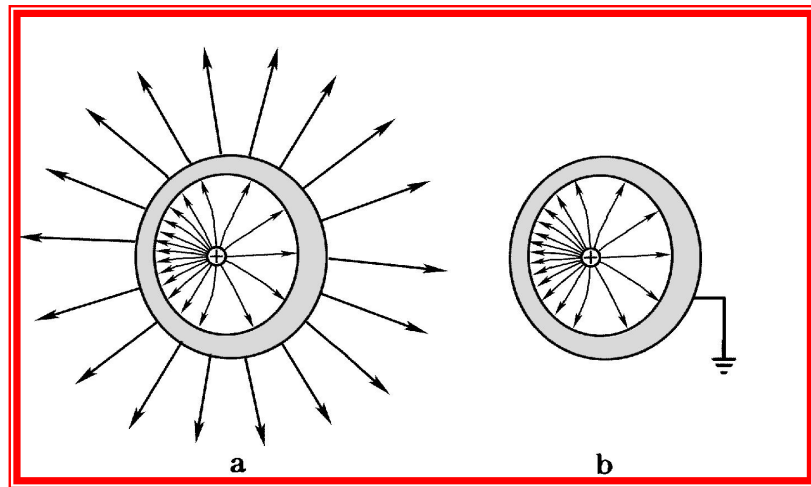
- 避雷针
- 静电复印机
- 场致发射显微镜
- 范德格拉夫起电机



静电屏蔽 空腔导体可以保护腔内空间不受腔外带电体的影响

- 屏蔽室
- 带电作业
- 范德格拉夫起电机

库仑定律的精确验证



◆ 尖端放电及其应用

■ 危害：

- 雷击对地面上突出物体（顶端）的破坏性最大；
- 高压设备尖端放电漏电等。

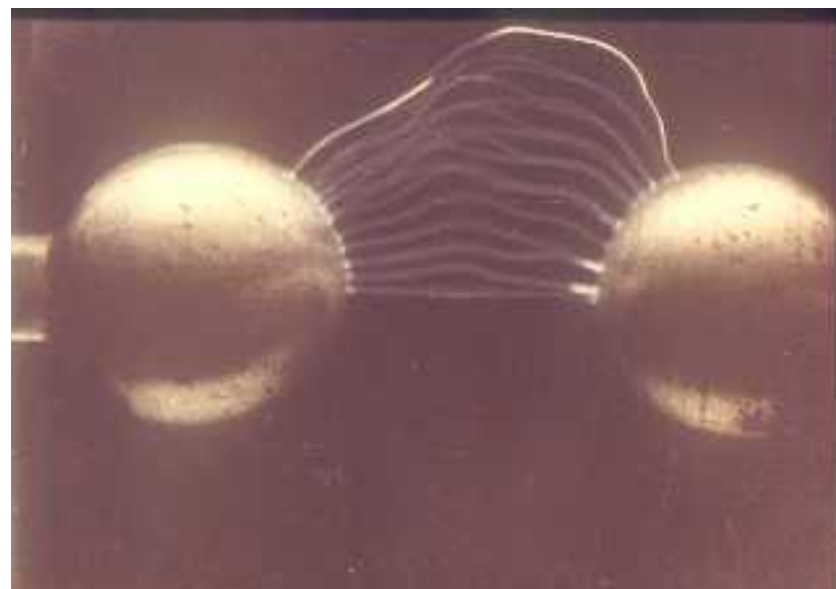
■ 应用实例：

- 避雷针（演示实验）
- 高压输电中，把电极做成光滑球状
- 范德格拉夫起电机起电原理就是利用尖端放电使起电机起电
- 场离子显微镜（FIM）、场致发射显微镜（FEM）乃至扫描隧道显微镜（STM）等
- 静电复印机

云层和大地间的闪电



空气中的直流高压放电图片

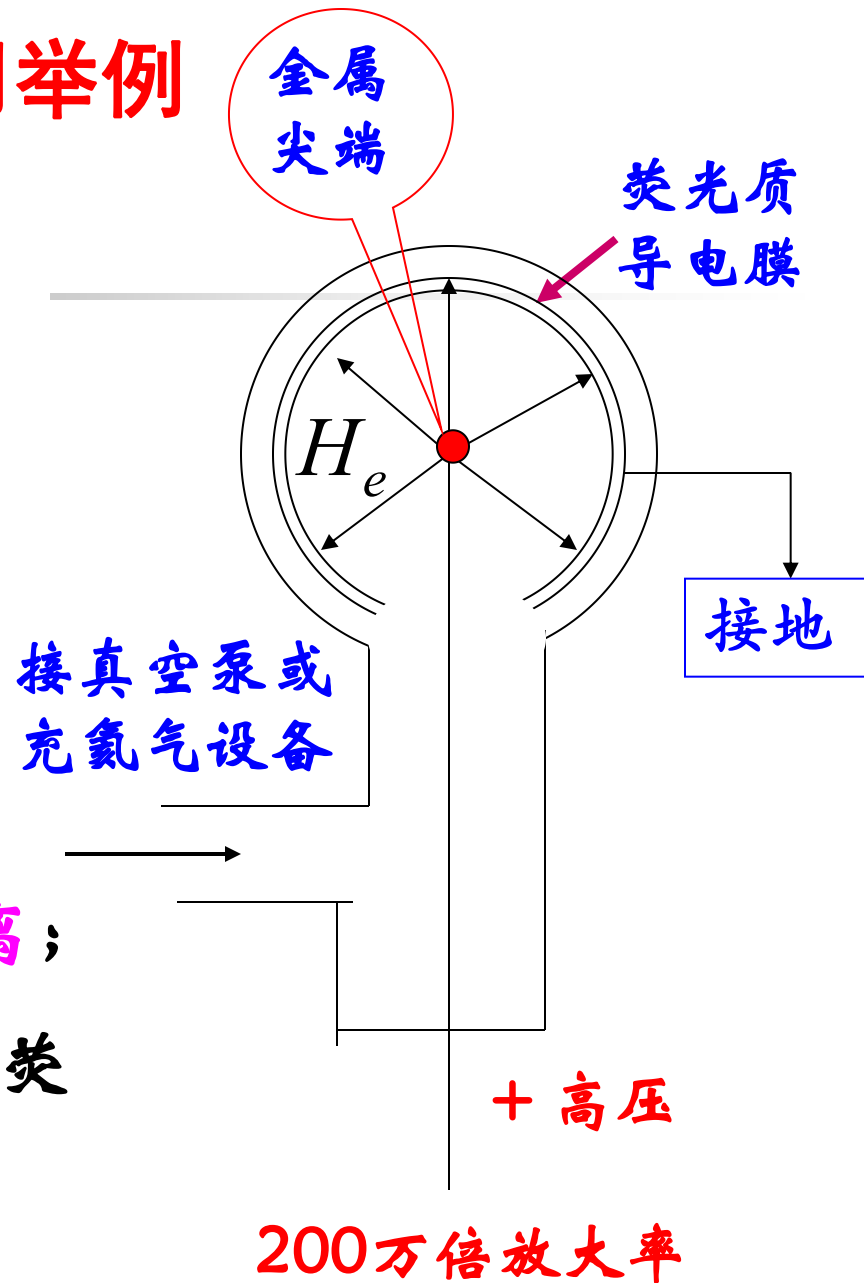


金属尖端的强电场的应用举例

场离子显微镜(FIM)

原理:

- 样品制成针尖形状;
- 针尖与荧光膜之间加高压;
- 样品附近有极强的电场;
- E使吸附在样品的氮原子电离;
- 氮离子沿电力线运动, 撞击荧光膜引起发光
- 从而获得样品表面的图象



范德格喇夫起电机

■ 金属球壳的**高压电极**由绝缘支柱支撑着，绝缘材料制成的**输电带**在两个转轴间不停地运动。

■ **喷电针排**连接在喷电电源上，通过针尖在气体中的电晕放电，使周围与针尖极性相同的离子在电场作用下从针尖喷向输电带，使输电带充电。

■ 随着输电带的运动，带上的电荷进入高压电极。极内**刮电针排**同高压电极相连和输电带之间所形成的电场，同样使气体电晕放电，从而使电荷转移到高压电极上去。

■ 随着不停传送电荷，高压电极的电压很快地升高。

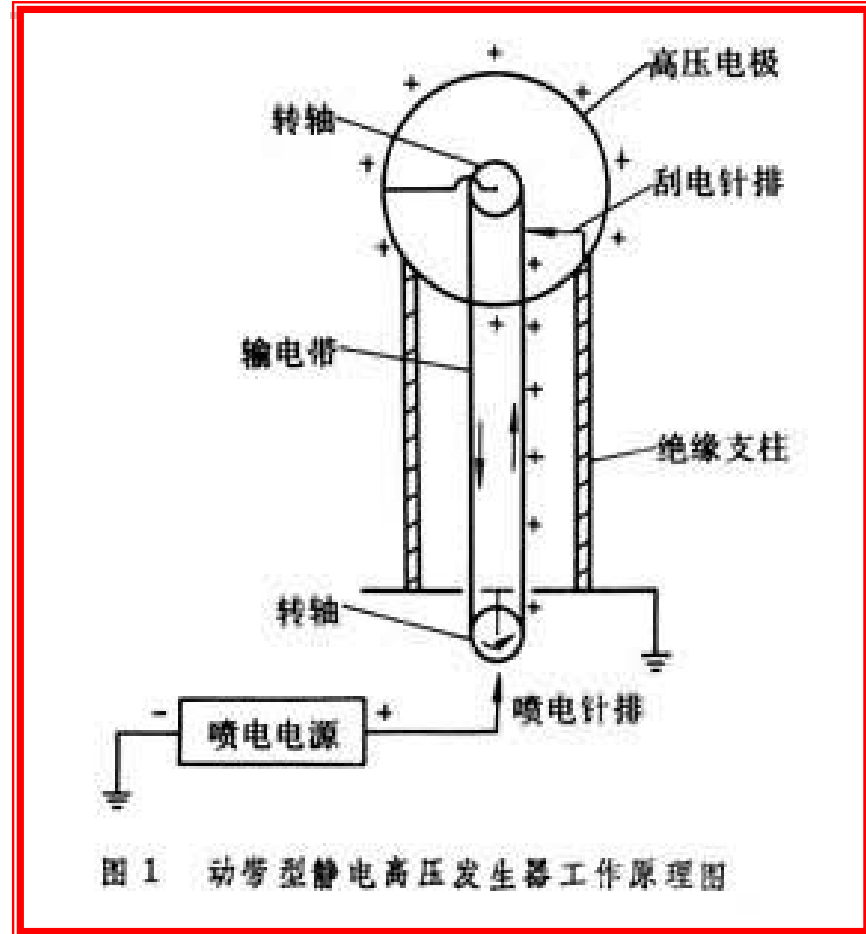
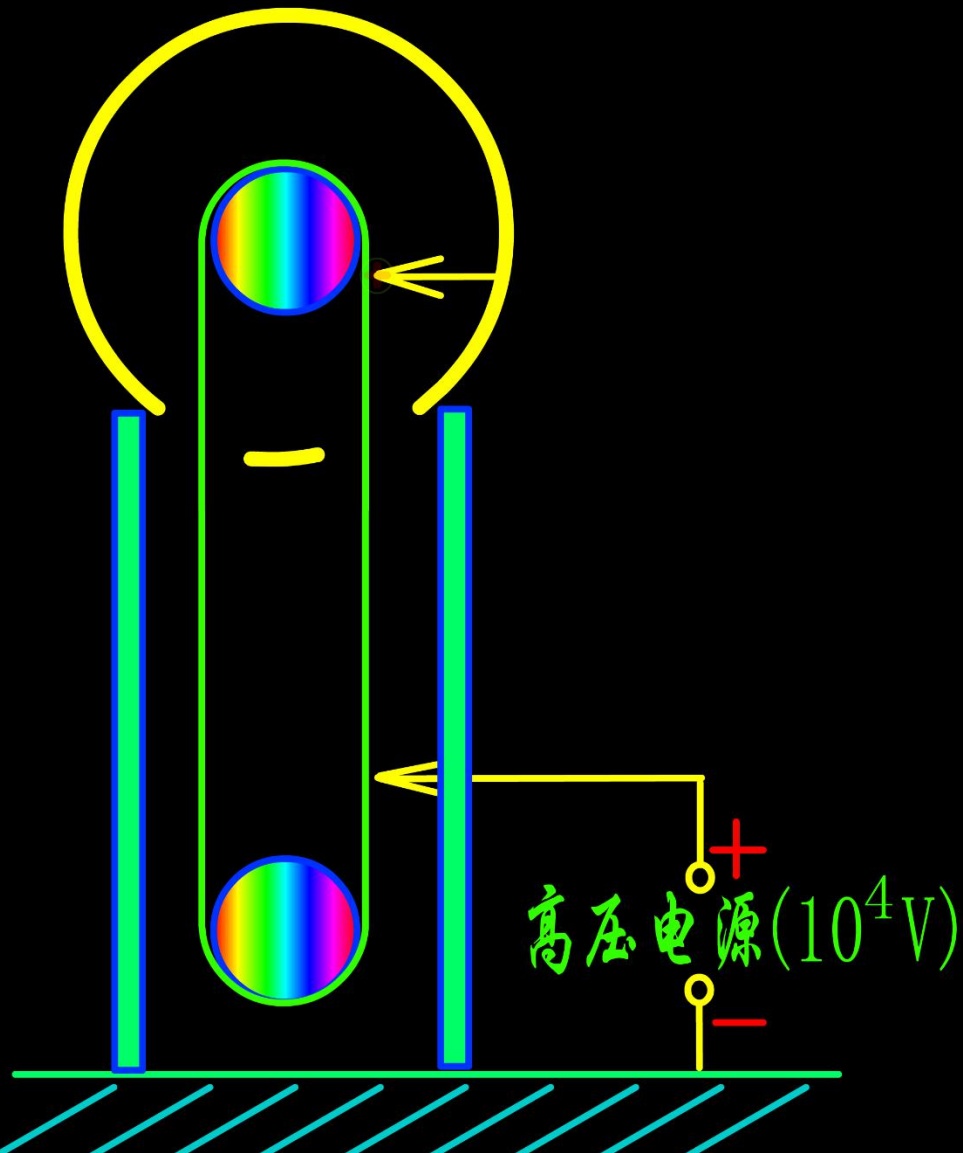


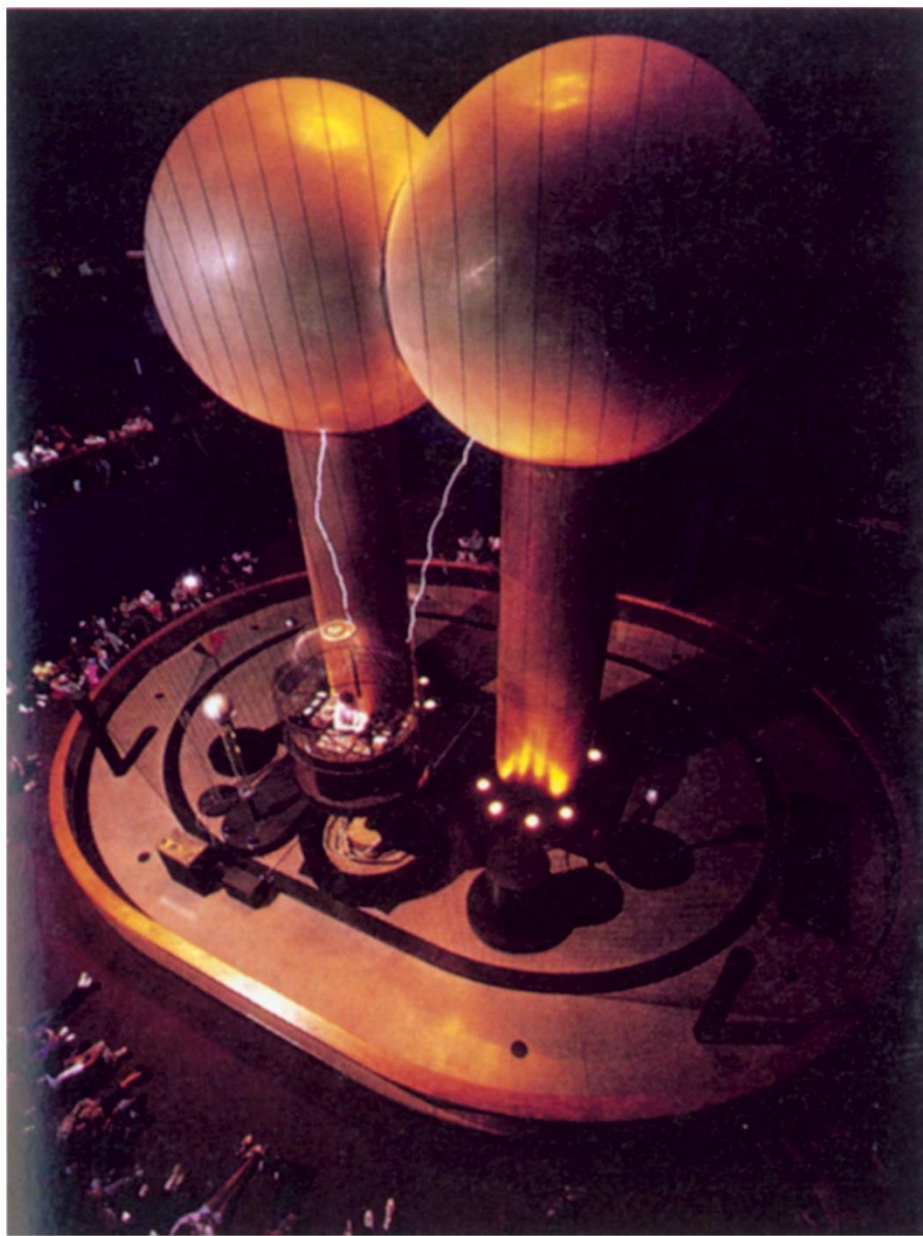
图1 动带型静电高压发生器工作原理图

范德格喇夫 静电起电机



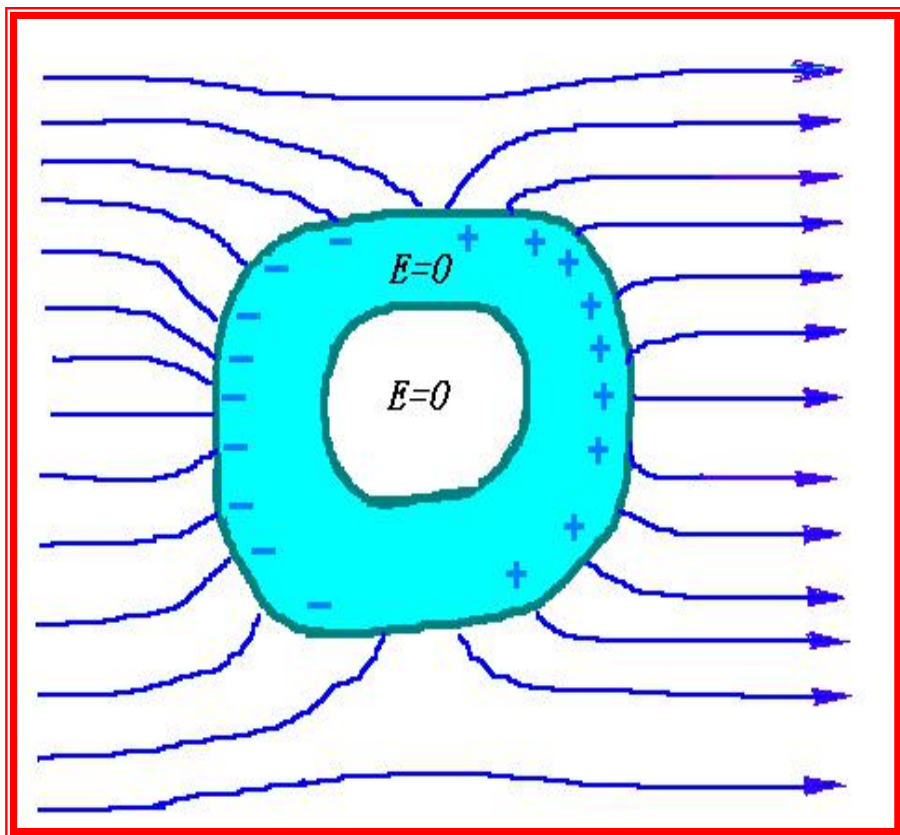
开始 

范德格拉夫起电机



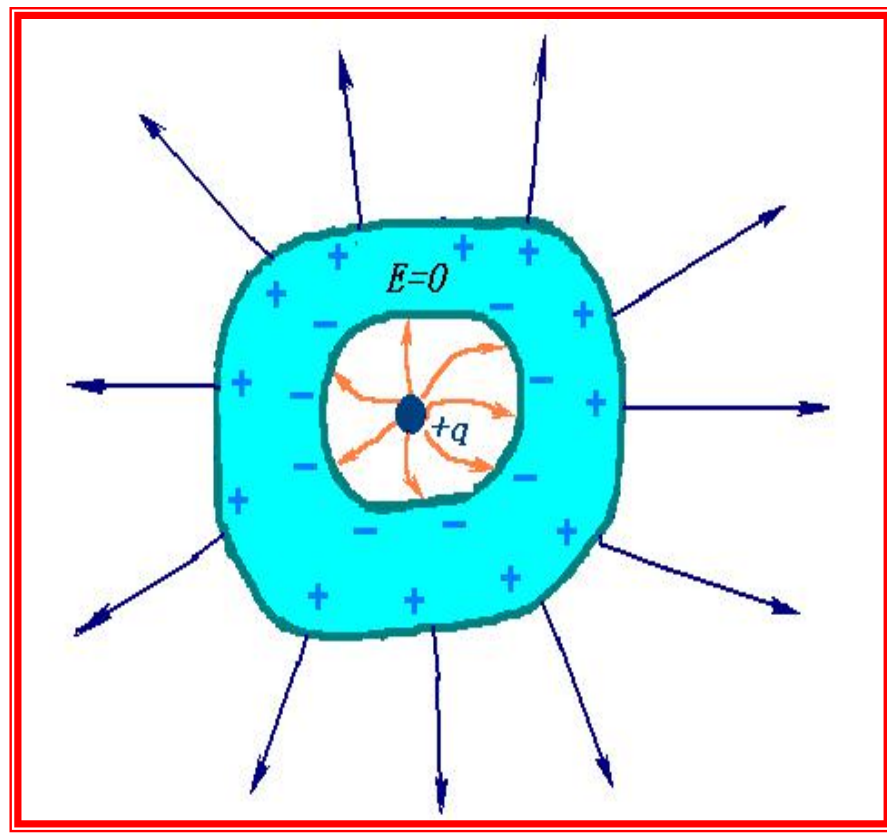
◆ 静电屏蔽

(1) 空腔不接地，腔外不影响腔内



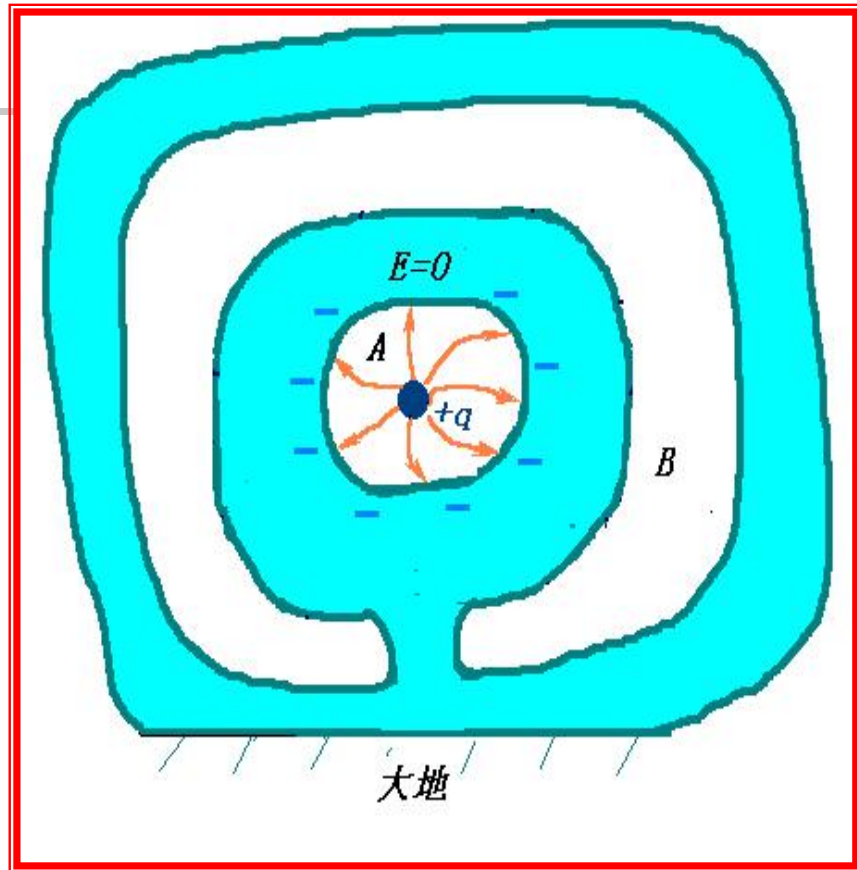
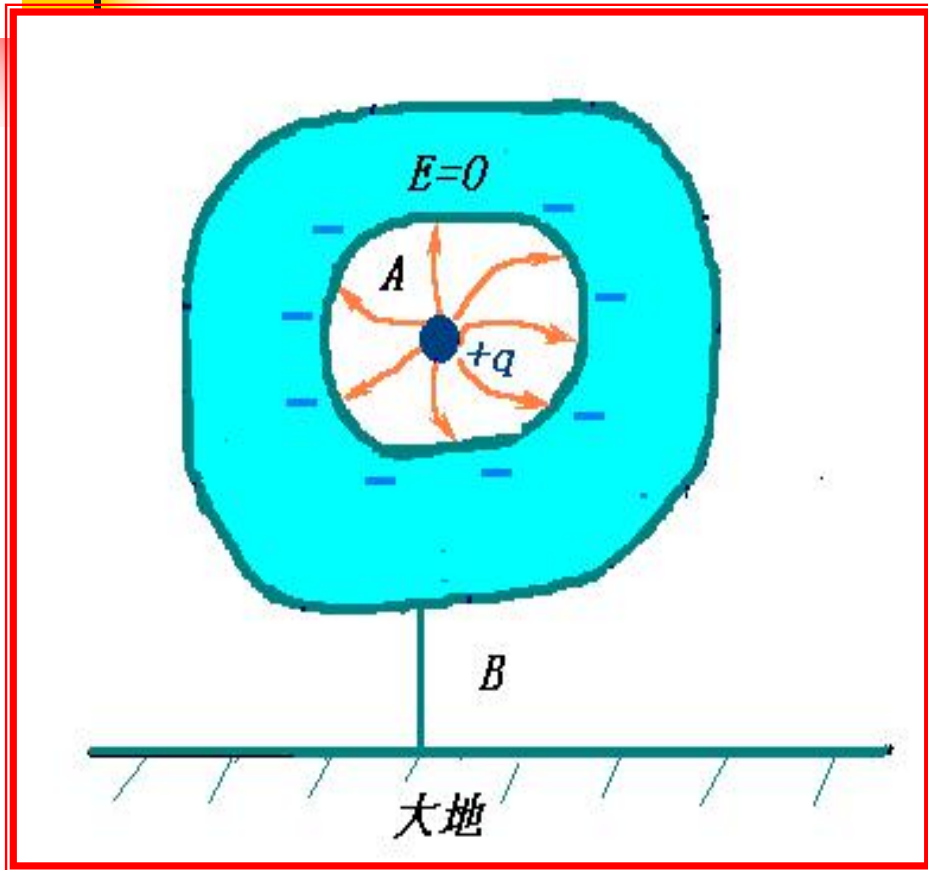
腔内无电荷

(2) 空腔不接地，腔内却影响腔外



腔内有电荷

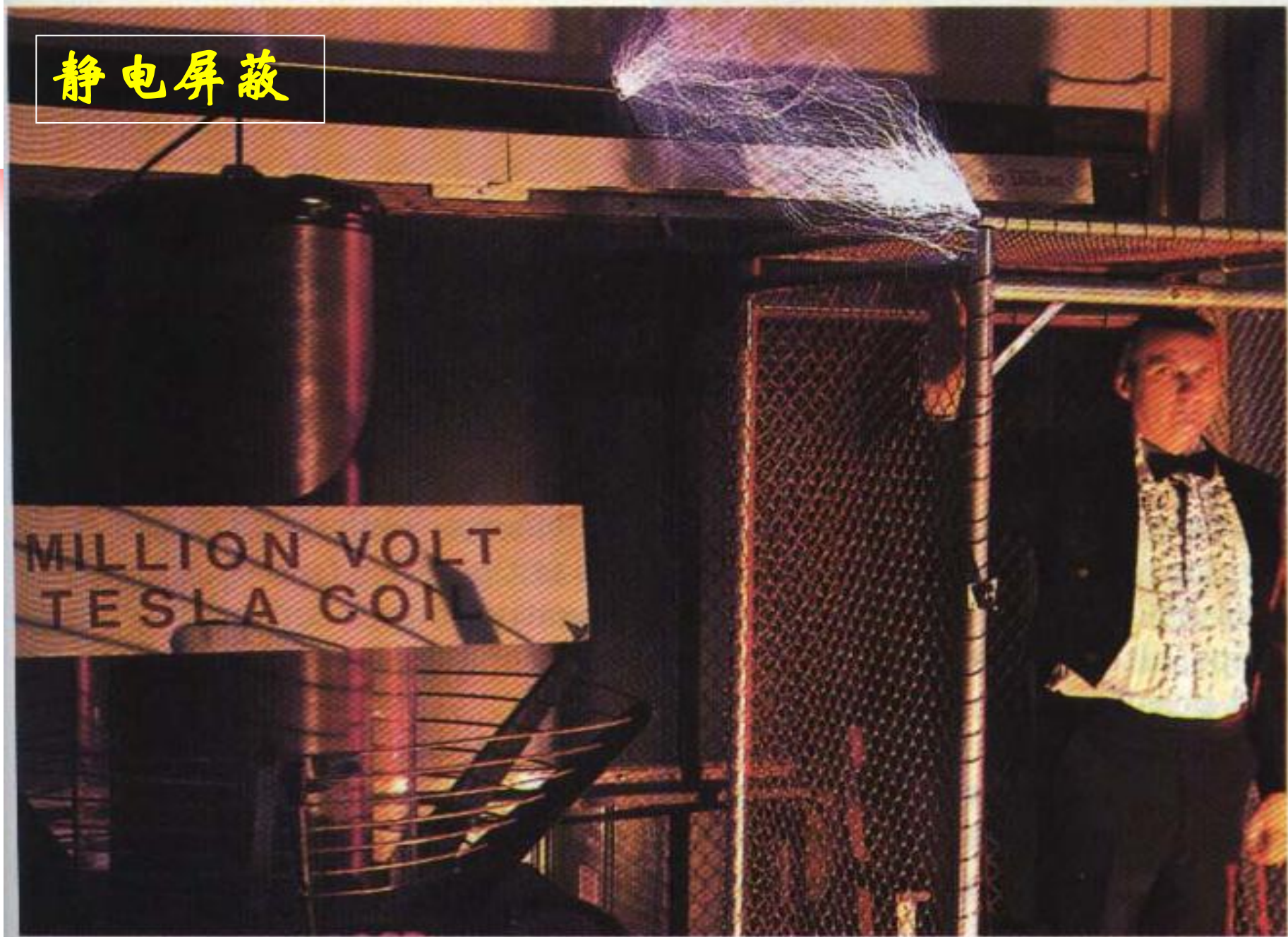
(3) 空腔**接地**，腔内腔外互不影响



腔内有电荷，导体腔接地

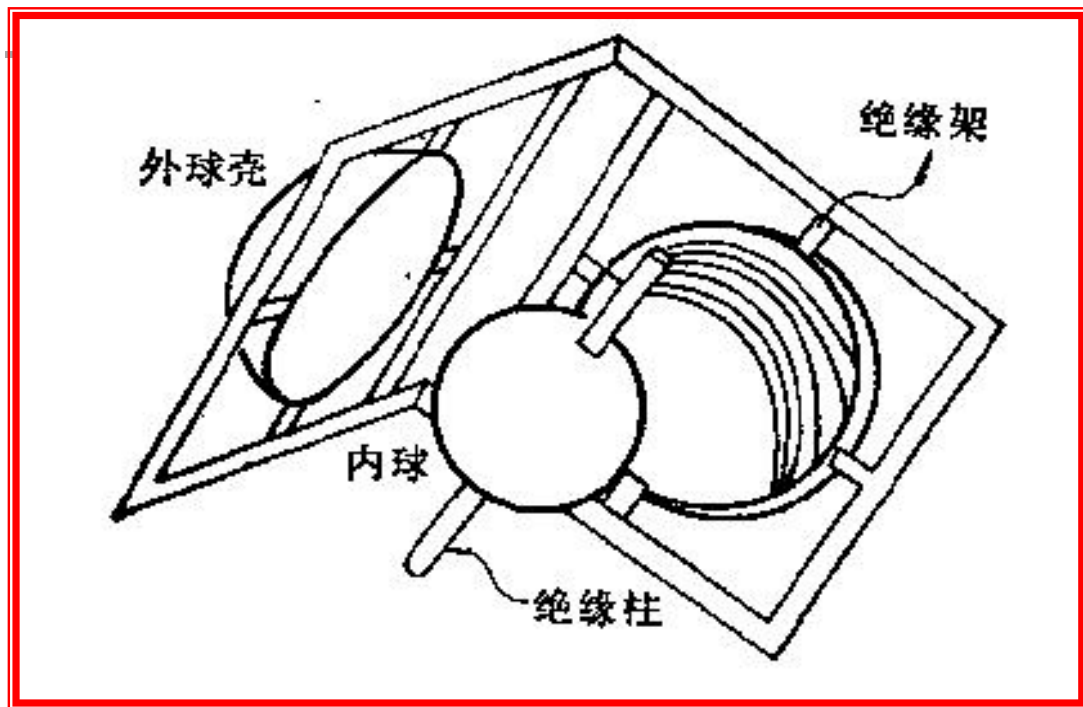
等效图

静电屏蔽



高斯定理和库仑定律的精确验证

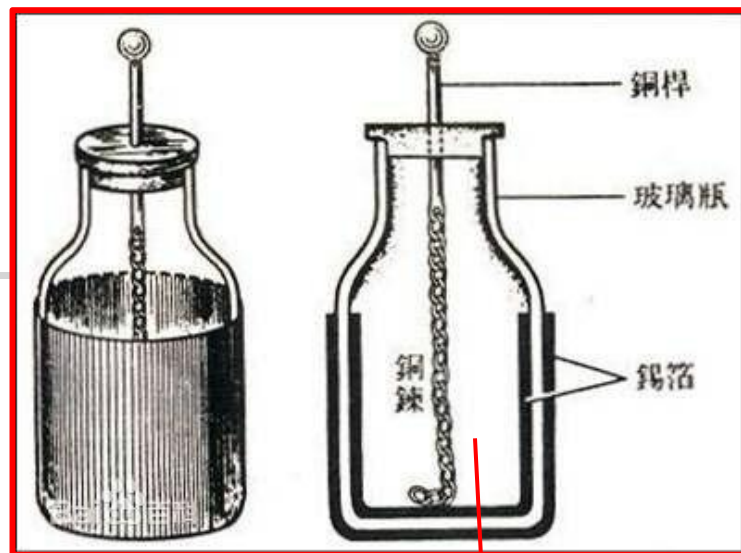
导体**内球**固定在绝缘支柱上，导体**外球壳**为两个半球壳拼接而成。**实验时**，**先**使内球带电，**然后**用导线将内球与外球壳连接，使球壳带电，**再抽走**导线。在上述操作之后，将两半球壳打开，用精确的验电器**检测内球上的电量**。（参看陈秉乾等《电磁学专题研究》**P10-14**）



卡文迪许的实验装置

§ 2.3 电容和电容器

1746年，**荷兰莱顿大学**的教授**穆森布罗克**（**Pieter Von Musschenbrock, 1692~1761**）在做电学实验时，无意中把一个带了电的钉子掉进玻璃瓶里，他以为要不了多久，铁钉上所带的电就会很容易跑掉的，过了一会，他想把钉子取出来，可当他一只手拿起桌上的瓶子，另一只手刚碰到钉子时，突然感到有一种电击式的振动。他又重复了好几次，而结果都一样。于是他**得出结论**：把带电的物体放在玻璃瓶子里，电就不会跑掉，这样就可把电储存起来，从而发明了**莱顿瓶**。



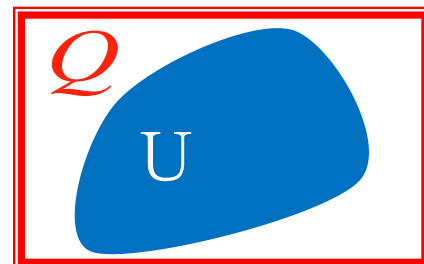
一、孤立导体的电容 (capacity)

- **孤立导体**：空间只有一个导体，在其附近没有其它导体和带电体，可以储存电荷 Q 。

- **电容定义**：

- 一个带有电荷为 Q 的孤立导体,其电势为 U (无穷远处为电势零点)则有：

$$C = \frac{Q}{U}$$



- **物理意义**：

- 电容表征使导体**每升高单位电势所需的电量**，是描述导体或导体系**容纳电荷的性能**的物理量；
- C 由**导体的形状、大小及周围的环境****决定** (介质)；
- C 的值与**导体所带电量多少**和**电势 U 的大小****无关**。

■ 电容的**单位**:

- $C=Q/U$

- 单位: 库仑/伏特, 简称**法拉**, 记作F

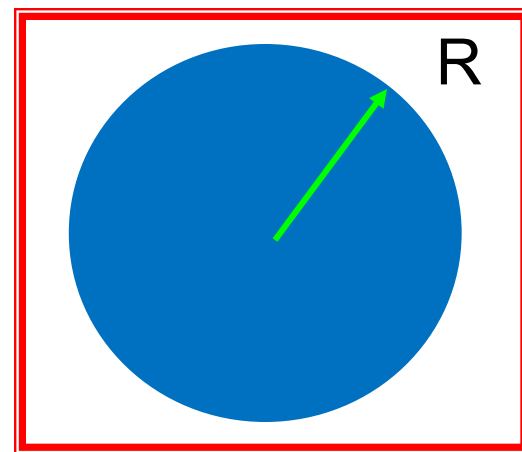
- **1 μ F**(微法拉) = **10⁻⁶F**, **1pF**(微微法拉) = **10⁻¹²F**

[例]: 求孤立导体球的电容, 设半径为**R**。

[解]: **关键是求U!**

$$U = \int_R^{\infty} E \cdot dr = \int_R^{\infty} \frac{Q}{4\pi\epsilon_0 r^2} dr = \frac{Q}{4\pi\epsilon_0 R}$$

$$C = \frac{Q}{U} = 4\pi\epsilon_0 R$$



注:

- 孤立导体的电容越大, U一定时储存的Q越多
- 孤立导体的**半径越大, 电容越大**

思考：用孤立导体球要得到**1F** 的电容，球半径为多大？

$$C = 1\text{F 时}, R = \frac{1}{4\pi\epsilon_0} = 9 \times 10^9 (\text{m}) \approx 1.4 \times 10^3 R_E$$

$$R = R_E \text{ 时}, C = 4\pi\epsilon_0 R_E = 7 \times 10^{-4} \text{F}, (R_E = 6.4 \times 10^6 \text{m})$$

- 孤立导体的电容一般很小，不能满足使用的需求
- 实际的电容附近存在其他导体，孤立导体近似难满足
- 导体的电势，与周围的电荷、导体及介质有关

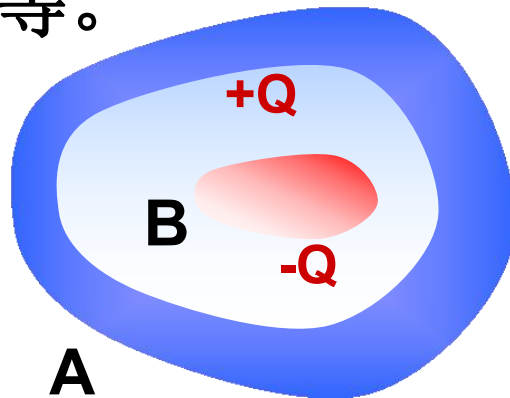
二、电容器 (capacitor)

■ 构成:

- 两个彼此绝缘而又互相靠近的导体组成的系统;
- 导体可以是金属板, 金属薄膜等;
- 两个导体带有等量异号的电荷, $\pm Q$;
- 夹层绝缘物质可以是空气、纸、云母片、塑料、不导电的液体等等。

■ 特点:

- 增大电容值;
- 静电屏蔽。



$$C = \frac{Q}{|U_A - U_B|} = \frac{Q}{U_{AB}}$$

导体壳内部的场只由腔内的电量和几何条件及介质的性质决定。

70
厘米



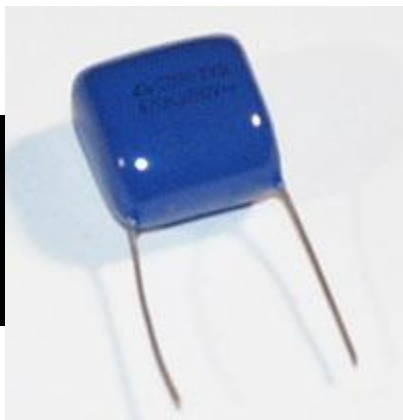
高压电容器(20kV 5~21 μ F)
(提高功率因数)

12
厘米



聚丙烯电容器
(单相电机起动和连续运转)

2.5
厘米



涤纶电容
(250V0.47 μ F)



陶瓷电容器
(20000V1000pF)

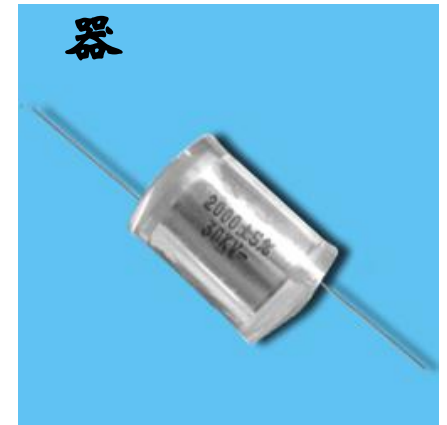
2.5
厘米



电解电容器
(160V470 μ F)



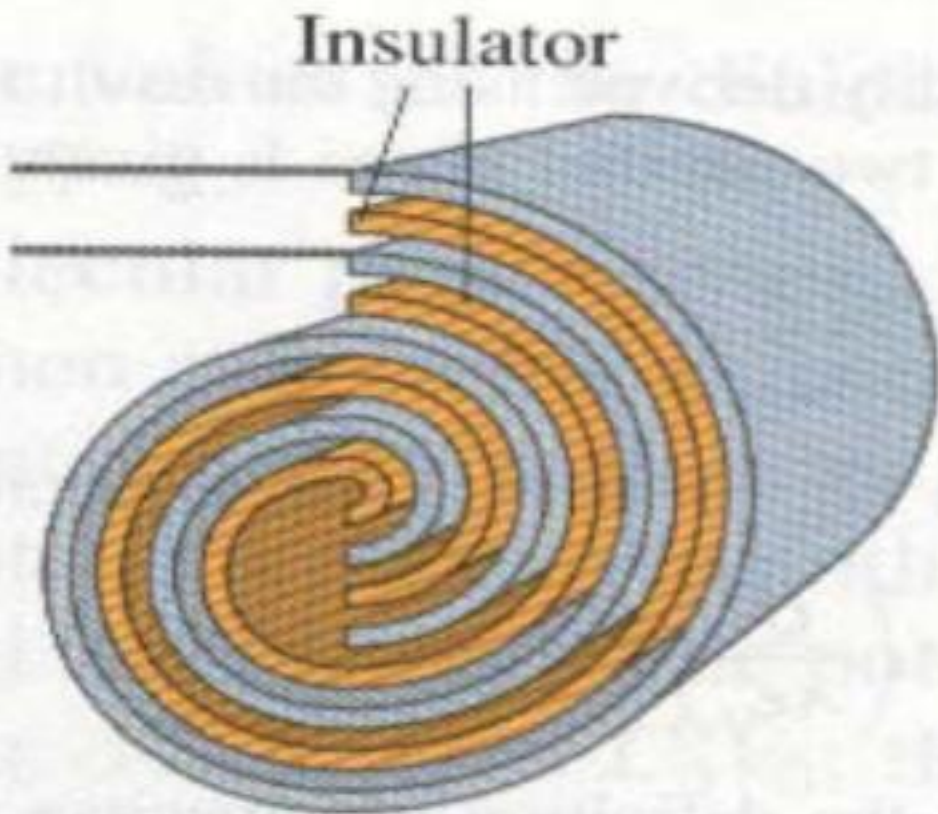
陶器电容
器



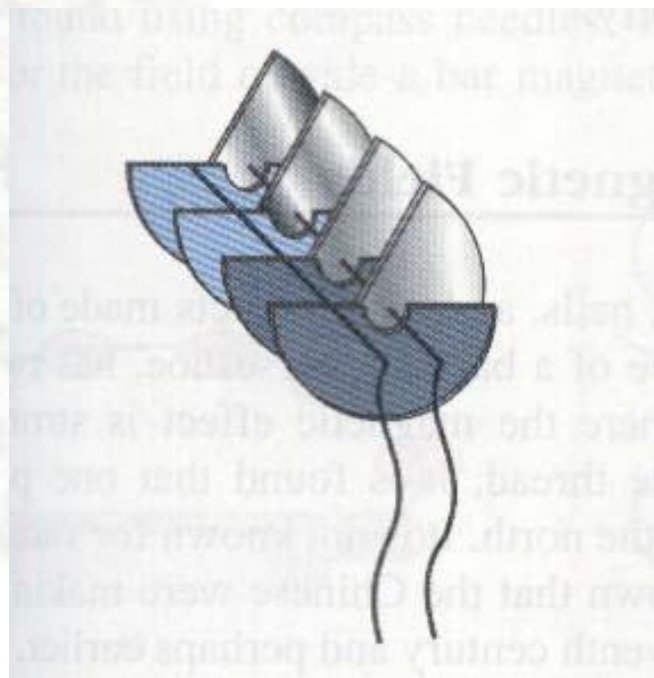
薄膜电容



AC-018



普通电容器的截面图



可变的空气电容器

■ 分类

- 按**结构**：固定电容器、可变电容器和半可调电容器
- 按**介质**：无机介质、有机介质、电解电容器、液体介质
- 按**用途**：高频旁路、低频旁路、滤波、调谐、高频耦合、低频耦合、小型电容器。

■ 作用：阻直流、通交流

- 隔直流、让交流通过。常用于**电路中的**：**旁路**：为交流电路中某些并联的元件提供低阻抗通路；**滤波**：将整流的锯齿波变为平滑的脉动波；**整流**：在预定的时间开启或者关闭半导体开关元件。
- **调频**：用于各种**电磁波发射**、**接收**装置中。
- **储能**：储存电能，用于必须要的时候释放。（**演示**）

几种常见的电容计算

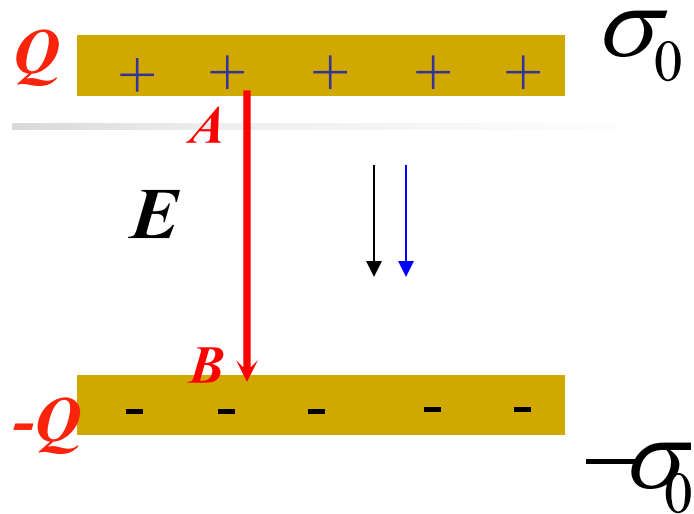
■ 平板电容器，两极板面积 S ，
两极间距 d ， $(S \gg d^2)$ ，求电容。

[解] 令两极板分别带电量 $\pm Q$ ，
则：

$$\text{极间电场强度： } E = \frac{\sigma}{\epsilon_0} = \frac{Q}{\epsilon_0 S}$$

$$\text{两级间电势差： } \Delta U = Ed = \frac{Qd}{\epsilon_0 S}$$

$$\text{电容器的电容： } C = \frac{Q}{\Delta U} = \frac{\epsilon_0 S}{d}$$



$$C = \frac{\epsilon_0 S}{d}$$

$C \propto S$ ， S 为有效面积，即两极板相对之面积；

$C \propto 1/d$ ，对其它形状电容器也适用； C 还与极板间介质有关。

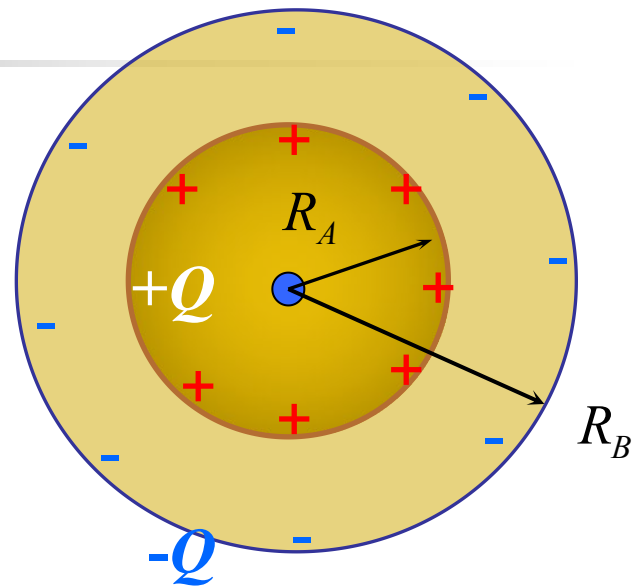
同心导体球壳

设内球面半径 R_A ，外球面半径 R_B ，带电量为 Q ，求电容。

$$E = \frac{Q}{4\pi\epsilon_0 r^2}$$

$$U_{AB} = U_A - U_B = \int_{R_A}^{R_B} \mathbf{E} \cdot d\mathbf{r}$$

$$= \int_{R_A}^{R_B} \frac{Q}{4\pi\epsilon_0 r^2} dr = \frac{Q}{4\pi\epsilon_0} \left(\frac{1}{R_A} - \frac{1}{R_B} \right)$$



$$C = \frac{Q}{U_{AB}} = 4\pi\epsilon_0 \frac{R_A R_B}{R_B - R_A}$$

●当 $R_A, R_B \gg R_B - R_A$ 时，可令 $R_B - R_A = d$ ， $R_B R_A = R^2$ ，则同平板电容器

$$C = 4\pi\epsilon_0 R^2 / d = \epsilon_0 S / d$$

●当 $R_B \gg R_A$ 时，同孤立导体球的电容

$$C = 4\pi\epsilon_0 R_A$$

同轴柱形导体壳

设长为 L ，带电量为 Q ，内半径为 R_A ，外半径为 R_B ，且 $L \gg R_B - R_A$ ，求其电容。

$$U_{AB} = \int_A^B \mathbf{E} \cdot d\mathbf{l} = \int_A^B \mathbf{E} \cdot d\mathbf{r}$$

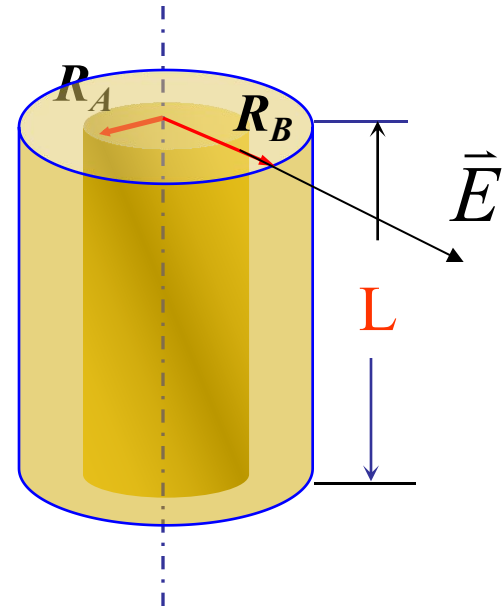
$$\because E = \frac{\lambda}{2\pi\epsilon_0 r}, \quad \lambda = \frac{Q}{L}$$

$$U_{AB} = \int_{R_A}^{R_B} \frac{1}{2\pi\epsilon_0} \frac{\lambda}{r} dr = \frac{\lambda}{2\pi\epsilon_0} \ln \frac{R_B}{R_A}$$

$$= \frac{Q}{2\pi\epsilon_0 L} \ln \frac{R_B}{R_A}$$

$$C = Q / U_{AB}$$

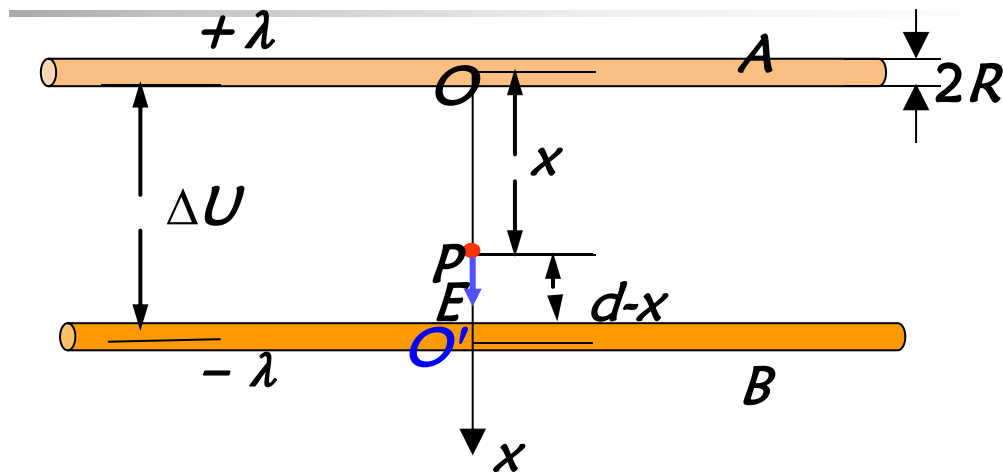
$$C = \frac{2\pi\epsilon_0 L}{\ln(R_B/R_A)}$$



■ 常见的电路中的分布电容

设有两个半径都为 R 的平行直导线,它们之间的距离为 d , 且 $d \gg R$, 求单位长度的电容 c

解:根据场强叠加原理:
+ λ 在 x 处的电场和 $-\lambda$ 在 $(d-x)$ 处的电场相加, E 的方向沿 x 轴的正方向,



$$E = \frac{1}{2\pi\epsilon_0} \left(\frac{\lambda}{x} + \frac{\lambda}{d-x} \right)$$

$$\begin{aligned} \Delta U &= \int_L \mathbf{E} \cdot d\mathbf{l} = \int_R^{d-R} E dx \\ &= \frac{1}{2\pi\epsilon_0} \int_R^{d-R} \left(\frac{\lambda}{x} + \frac{\lambda}{d-x} \right) dx \\ &= \frac{\lambda}{\pi\epsilon_0} \ln \frac{d-R}{R} \approx \frac{\lambda}{\pi\epsilon_0} \ln \frac{d}{R} \end{aligned}$$

$$c = \frac{\lambda}{\Delta U} \approx \pi\epsilon_0 / \ln(d/R)$$

小结

$$C = 4\pi\epsilon_0 R$$

$$C = 4\pi\epsilon_0 \frac{R_A R_B}{R_B - R_A}$$

$$C = \epsilon_0 S / d$$

$$C = \frac{2\pi\epsilon_0 L}{\ln R_B / R_A}$$

■ 计算电容的一般方法:

- 先假设电容器的两极板带等量异号电荷
- 关键是求出极板之间的电场强度 E
- 由 E 再求出极板之间的电势差 U
- 代入定义式 $C=Q/U$ 求出电容

三、电容器的连接

电容器的基本联接方式有两种：**串联**与**并联**。

1. 电容器串联

右图给出 **N 个电容器串联**的情况。由静电感应原理知，每一个电容器上带电量大小**都是 Q**

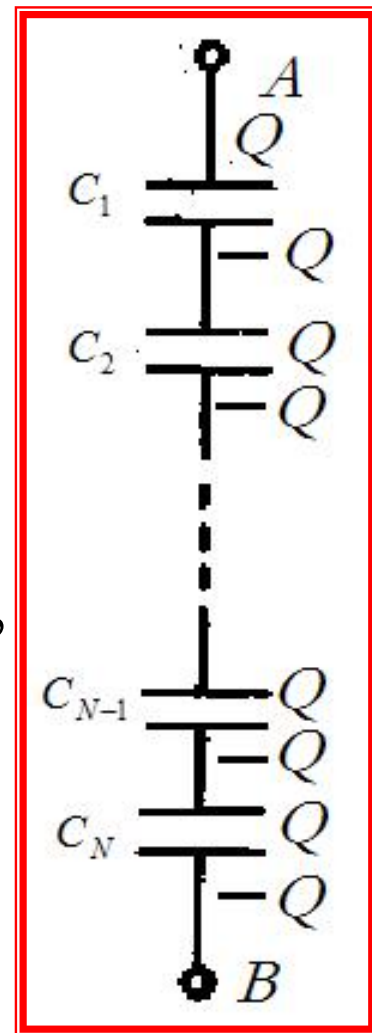
$$\left\{ \begin{aligned} Q &= C_1 U_1 = C_2 U_2 = \cdots = C_{N-1} U_{N-1} = C_N U_N, \\ U_{AB} &= U_1 + U_2 + \cdots + U_N = \sum_{i=1}^N U_i = Q \sum_{i=1}^N \frac{1}{C_i}, \end{aligned} \right.$$

得

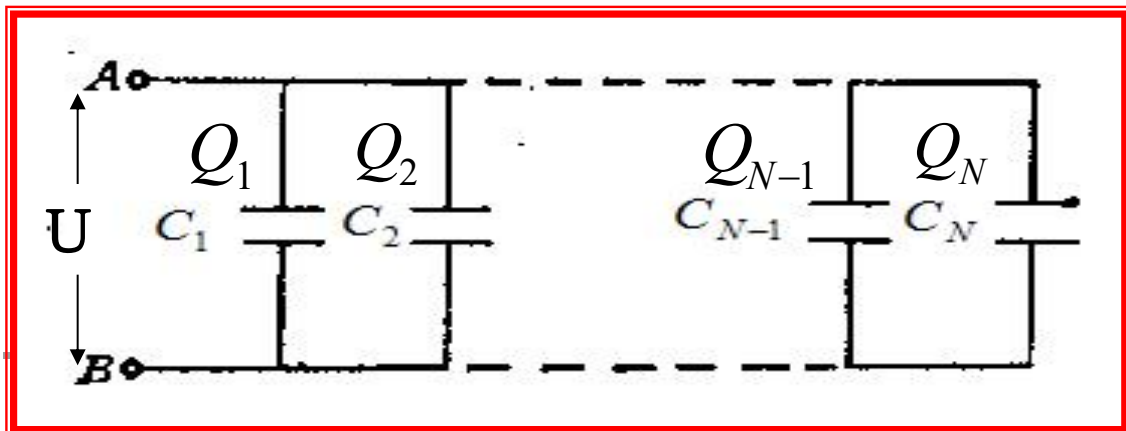
$$\frac{U_{AB}}{Q} = \sum_{i=1}^N \frac{1}{C_i}$$

故有

$$\frac{1}{C} = \sum_{i=1}^N \frac{1}{C_i}$$



2. 电容器并联



右图给出 N 个电容器并联的情况。 A 、 B 两端电势差为 U ，总电量大小为 Q ，则

$$\begin{aligned} Q &= Q_1 + Q_2 + \cdots + Q_{N-1} + Q_N \\ &= C_1 U + C_2 U + \cdots + C_{N-1} U + C_N U. \end{aligned}$$

总电容为 C ，则有：

$$C = \frac{Q}{U} = C_1 + C_2 + \cdots + C_{N-1} + C_N = \sum_{i=1}^N C_i.$$

并联可增加系统的电容值。相反，串联会减小电容值，但可提高整个电容器的耐压性能。

§ 2.4 电介质

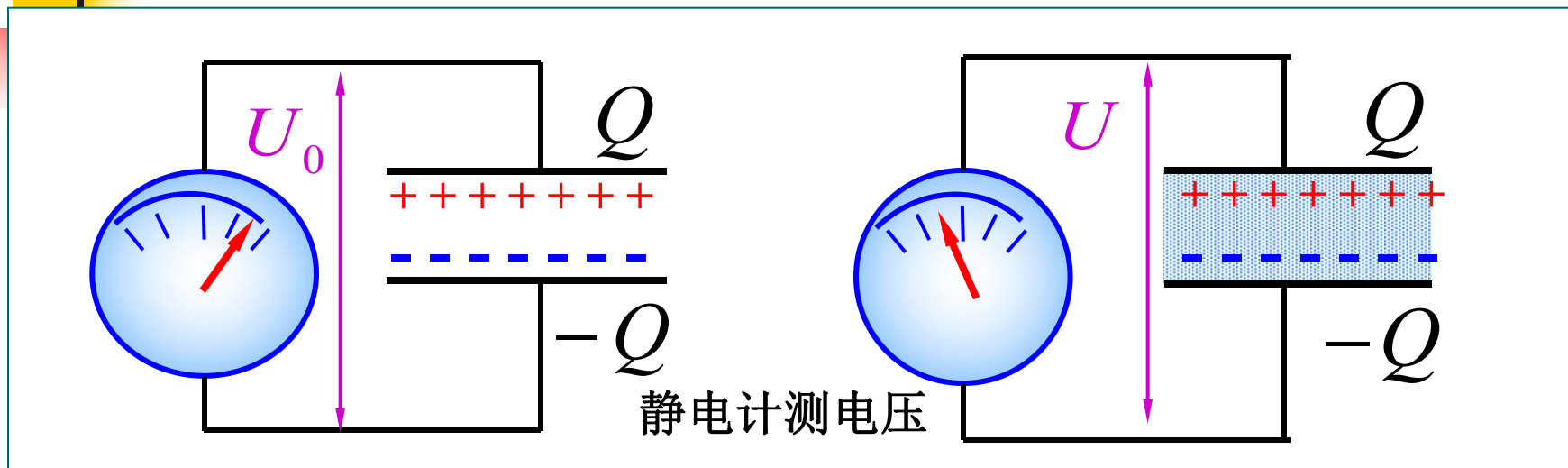
电介质 (Dielectric)

- 是电的**绝缘体**，**内部没有自由电荷**，**不能导电**
- 由大量**电中性的分子**组成，分子中电子被原子核束缚得很紧
- 紧束缚的正、负电荷在外场中是否发生变化？

电场 \longleftrightarrow 电介质
相互作用？

由实验来回答！

一、法拉第实验：电介质对电场的影响



- 充电的电容器两板连接到静电计
- 静电计指针显示两板间的电势差
- 保持一切条件不变，插入电介质
- 静电计指示两极板间电势差减小

(演示实验)

介质与外
电场发生
相互作用

一、法拉第实验：电介质对电场的影响

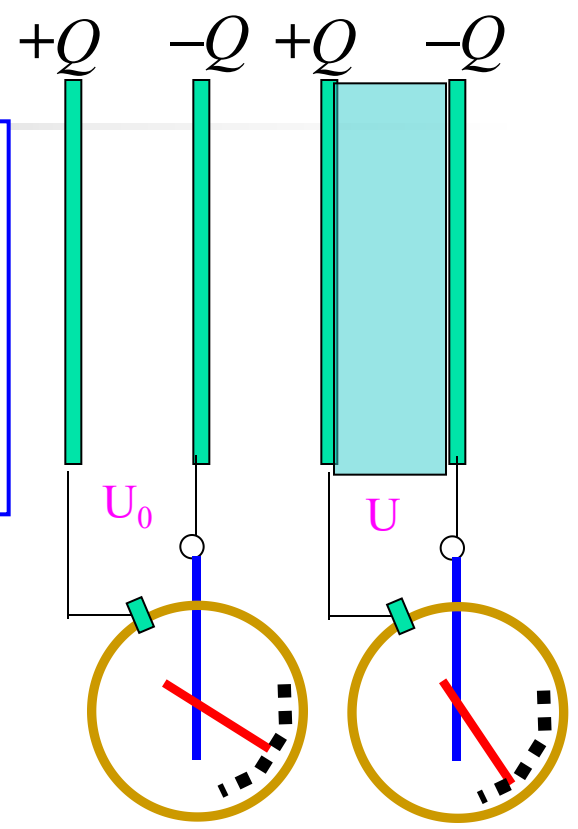
■ 物理原因（逻辑推理）

$$U_0 > U$$
$$U = \int_A^B \mathbf{E} \cdot d\mathbf{l}$$

E' 标志电介质的影响，由此可知它与外场 E_0 方向相反。

$$E_0 > E$$
$$E = E_0 + E'$$
$$\therefore E' < 0$$

$$\because E \neq 0,$$
$$\therefore E' \neq E_0.$$



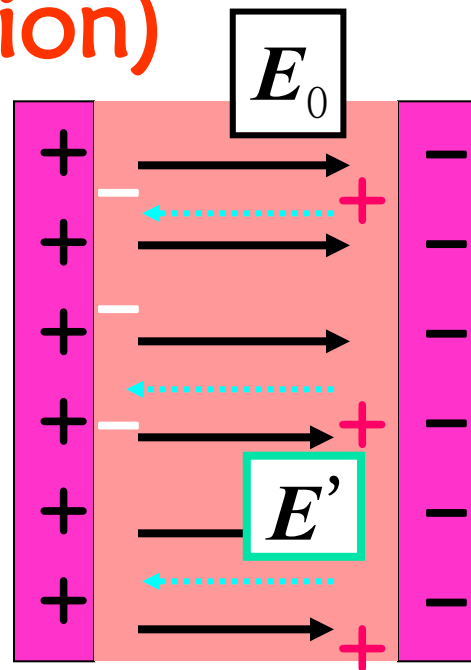
静电计测电压

二、介质极化 (polarization)

E' 与 E_0 反向

只有电荷才能
产生电场

电介质的表面出现了与极板电荷**异号**的电荷



极化电荷：电介质表面出现的这种电荷只能在分子范围内移动，与电介质是不可分离的，称为**极化电荷**，它是一种**束缚电荷**。

电介质在外电场作用下，其表面甚至内部出现极化电荷的现象，叫做**电介质的极化**。

电介质中的总电场为两个电场之和： $E = E_0 + E' \neq 0$

三、介质微观结构（模型方法）

■ 重心模型：

- 在分子中，将所有正电荷和所有负电荷等效为分别集中于两个几何点上，此点称为正、负电荷的重心。
- 电荷分布和其重心都是对“时间”的一种平均。

■ 介质分类：进一步的实验发现，

电介质分子可分为无极和有极两类：

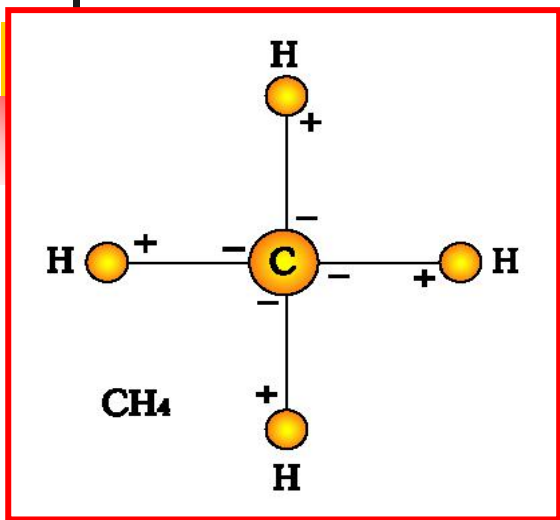
- **无极分子**：分子电荷的正、负“重心”重合，在无外场作用下整个分子**无固有电偶极矩**。如：

He, Ne, O₂, N₂, CH₄ ...

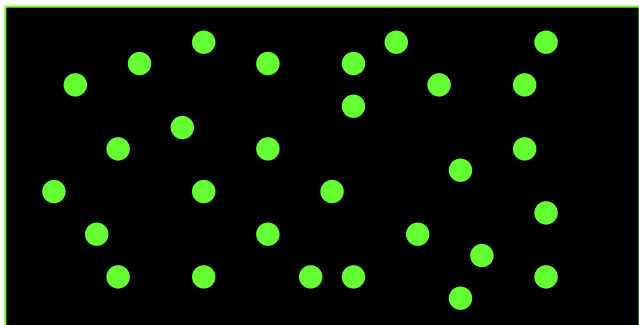
- **有极分子**：分子电荷的正、负“重心”分开，在无外场作用下整个分子**有固有电偶极矩**，如：

水, HCl, NH₃, CH₃OH(甲醇) ...

无极分子

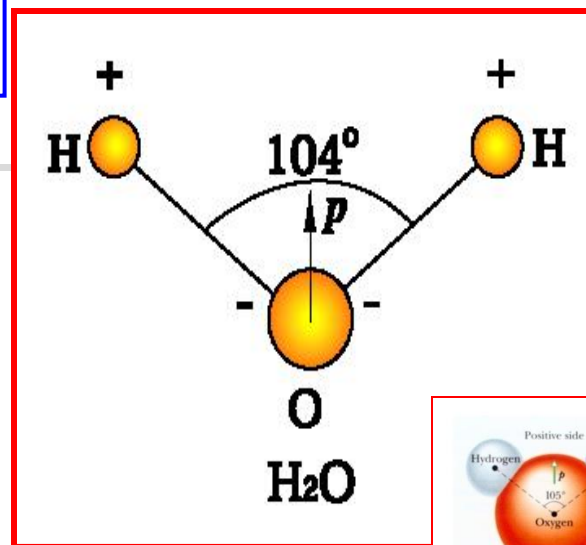


无外场时(热运动)

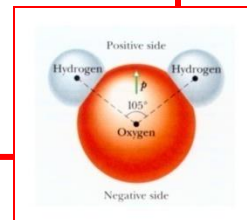


有极分子

$$p = qL$$

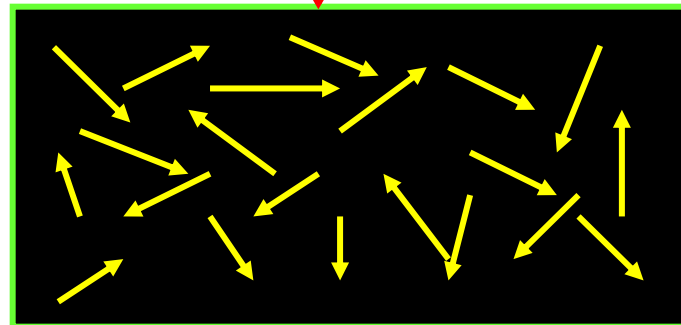


电子云的
负电重心



无外场时整体对外不显电性

无序排列
对外不呈
现电性!



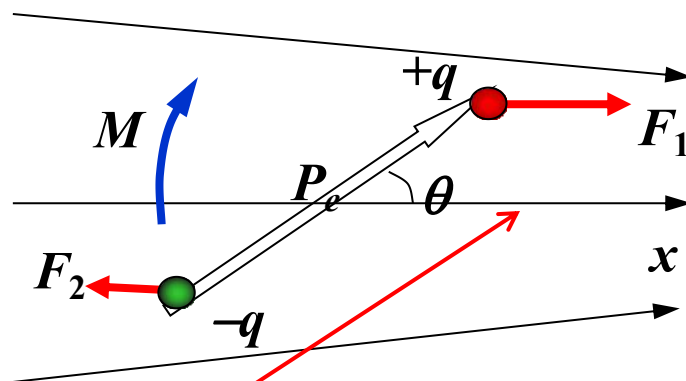
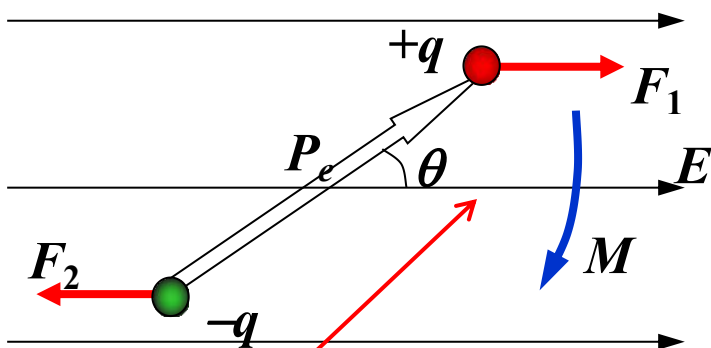
回顾:

电偶极子在 E 中的受力

电偶极子在 E 中受的力矩

$$\mathbf{F} = (\mathbf{p} \cdot \nabla) \mathbf{E}(\mathbf{r}),$$

$$\mathbf{L} = \mathbf{p} \times \mathbf{E}$$



$\Sigma \mathbf{F} = 0$ (均匀电场) ; $\Sigma \mathbf{F} \neq 0$ (非均匀电场)

均匀外场中电偶极子不受力，但受力矩；在外电场力矩作用下， \mathbf{p} 总是朝向 \mathbf{E} 一致的方向偏转。
在非均匀外场中电偶极子既受力，又受力矩作用。

四、极化微观模型

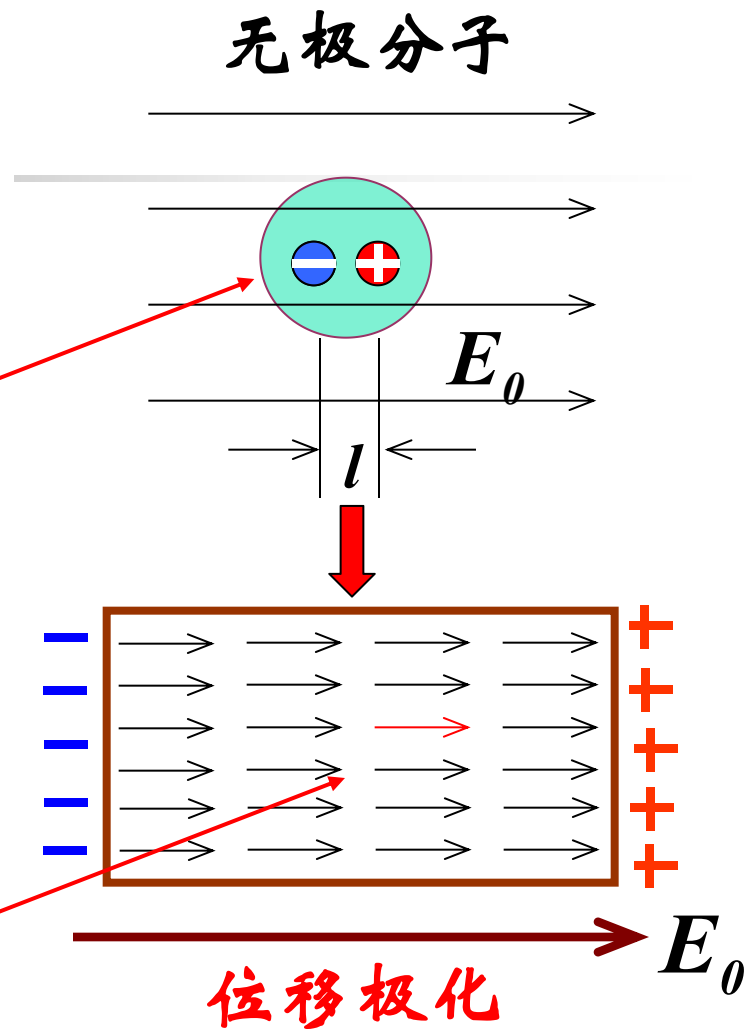
(1) 无极分子的极化

- 在**进入外电场前**，无极分子的正、负电荷重心重合，没有电偶极矩。

$$p_{\text{分子}} = 0$$

$$\sum p_{\text{分子}} = 0$$

- 进入外场后**，在电场的作用下，正、负电荷的重心发生位移，不再重合，形成电偶极子，表面出现**束缚电荷**。
- 这时极化是电荷重心相对位移的结果，称为**位移极化**。



$$p_{\text{分子}} \neq 0; \quad \sum p_{\text{分子}} \neq 0$$

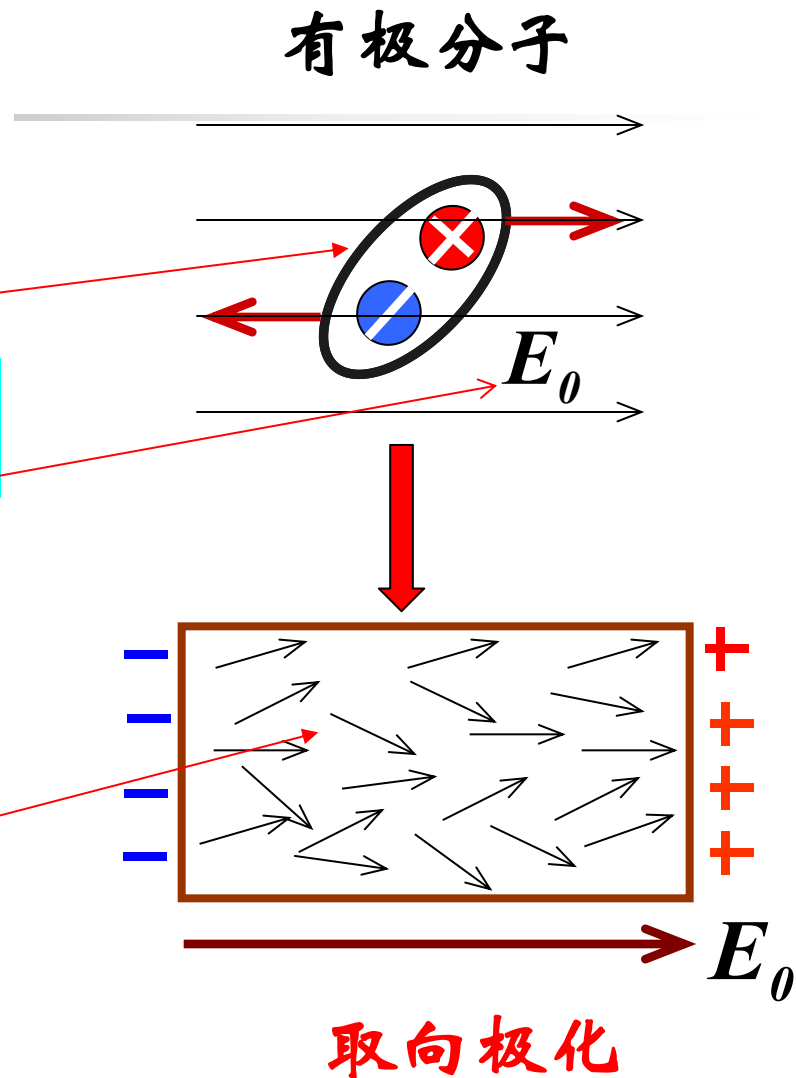
(2) 有极分子的极化

- **进入外场前**有极分子就相当于一个电偶极子，只是由于热运动而排列无序。

$$\mathbf{p}_{\text{分子}} \neq 0 \quad \text{但是} \quad \sum \mathbf{p}_{\text{分子}} = 0$$

- **进入外场后**，分子受到力矩的作用而发生偏转，电偶极矩转向外场方向。所以，这种极化称为**取向极化**。

$$\sum \mathbf{p}_{\text{分子}} \neq 0$$

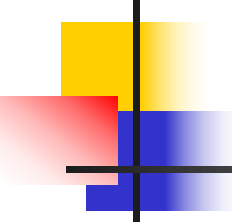


几点说明：

- **无外场下**，有极分子所具有的电偶极矩称为**固有电偶极矩**；**有外电场**时，分子产生的电偶极矩称**感应电偶极矩**（后者约是前者的 10^{-5} ）。
- **在外电场中**，均匀介质**内部**各处仍呈电中性，只在介质**表面出现极化电荷**。
- **介质极化**：无电荷宏观移动，只有**微观迁移**，对应束缚电荷的变化；
静电感应：有自由电荷的宏观移动，出现感应电荷。
- **无极分子**只有**位移极化**，感生电矩的方向沿外场方向；
有极分子有前述两种极化机制，但是**取向极化远强于位移极化**（约大一个量级）。
- **极化电荷**不能离开电介质到其它带电体，也不能在电介质内部自由移动，它不象导体中的自由电荷能用传导方法将其引走，是一种**束缚电荷**。
- **极化电荷的电场**称为**退极化场**使介质中实际电场减弱。

电介质与导体的区别

	电介质	导体
导电性	不导电	导电
在静电场中	出现极化，电子和原子核在电场力作用下在原子范围内作微观的相对位移	出现静电感应，自由电子在电场力作用下脱离所属原子作宏观移动
静电平衡时	内部场强 $E \neq 0$	内部场强 $E = 0$



§ 2.5 极化强度矢量 P (定量表达)

一、极化强度矢量 P

二、 P 与极化电荷的关系

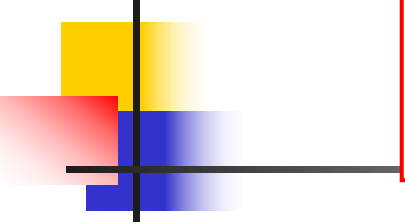
三、 P 与 E 的关系

一、极化强度矢量 \mathbf{P} (electric polarization)

- 引入：电介质极化后，在其内部任意一宏观体积元 ΔV 内 $\sum \mathbf{p}_{\text{分子}} \neq 0$ \rightarrow 如何定量描述介质的极化？
- 定义：单位体积内分子电偶极矩的矢量和：

$$\mathbf{P} = \frac{\sum \mathbf{p}_{\text{分子}}}{\Delta V} \quad \text{or} \quad \mathbf{P} = \lim_{\Delta V \rightarrow 0} \frac{\sum \mathbf{p}_{\text{分子}}}{\Delta V}$$

- 描述介质在外电场作用下被极化程度和方向的量；
- 单位：库仑/米²， $\mathbf{C} \cdot \mathbf{m}^{-2}$ 。


$$P = \lim_{\Delta V \rightarrow 0} \frac{\sum p_{\text{分子}}}{\Delta V}$$

微观量

介质中一点的
P(宏观量)

介质的体积元，宏观小
微观大(包含大量分子)

- 极化强度是一个**宏观矢量**的点函数，其微观值无意义。
- 电介质中**每一个点有唯一的极化强度**。如果各处的P值相同，则称电介质在电场中均匀极化。
- P反映**分子电矩** $p_{\text{分子}}$ 的**大小和空间有序化程度**。

■ 极化电荷

- 从原来处处电中性变成出现了**宏观的极化电荷**
- 可能出现在介质表面 (均匀介质), 面分布
- 可能出现在整个介质中 (非均匀介质), 体分布

$$q'(\sigma', \rho')$$

■ 退极化场

- **极化电荷会产生电场**——附加场(**退极化场**)
- 极化过程中: 极化电荷与外场相互影响、相互制约, 过程复杂——达到平衡(不讨论过程)
- **平衡时总场**决定了介质的极化程度

$$\mathbf{E} = \mathbf{E}_0 + \mathbf{E}'$$

极化的后果

$$\left\{ \begin{array}{l} P \\ q' (\sigma', \rho') \\ E = E_0 + E' \end{array} \right\} \text{描绘极化}$$

- 三者从不同角度定量地描绘同一物理现象——介质极化。
- 它们间必有联系，这些关系——电介质极化遵循的规律。

二、P与极化电荷的关系

1) P与 ρ_e' 关系: 以位移极化为模型讨论

$$p_{\text{分子}} = ql, \quad \mathbf{P} = np_{\text{分子}} = nql$$

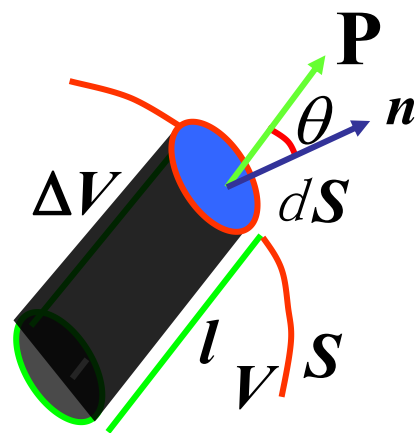
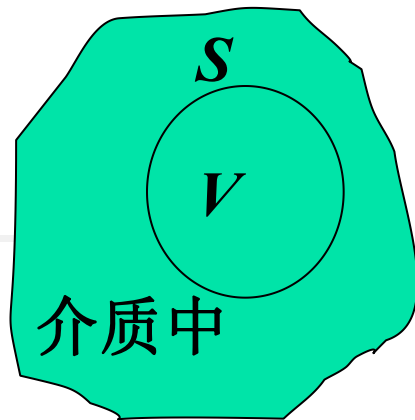
- 在介质中取一长 l 、底面积 dS 斜柱体;
- 其中 l 是平均分子正、负电荷中心距;
- 设 l 矢量穿过 dS , 每个分子对 dV 内电量贡献为 $-q$;
- dV 内电量可记为 dq' , 分子数密度 n :

$$\begin{aligned} dq' &= -nqdV = -nq(ldS \cos \theta) \\ &= -nql \cdot dS = -\mathbf{P} \cdot dS, \end{aligned}$$

又 $dq' = \rho_e' dV$, 两右边相等,

故:
$$\oiint_S \mathbf{P} \cdot d\mathbf{S} = -\iiint_V \rho_e' dV$$

$$\nabla \cdot \mathbf{P} = -\rho_e'$$



$$\oiint_S \mathbf{P} \cdot d\mathbf{S} = -\iiint_V \rho'_e dV = -Q';$$

$$\nabla \cdot \mathbf{P} = -\rho'_e$$

- **均匀介质**，均匀极化： \mathbf{P} 是常矢量， $\rho'_e = 0$
- **非均匀介质**：非均匀极化， \mathbf{P} 是空间位置矢量， $\rho'_e \neq 0$

请将上面的积分公式与 E 的高斯定理比较！

2) \mathbf{P} 与 σ_e' 的关系

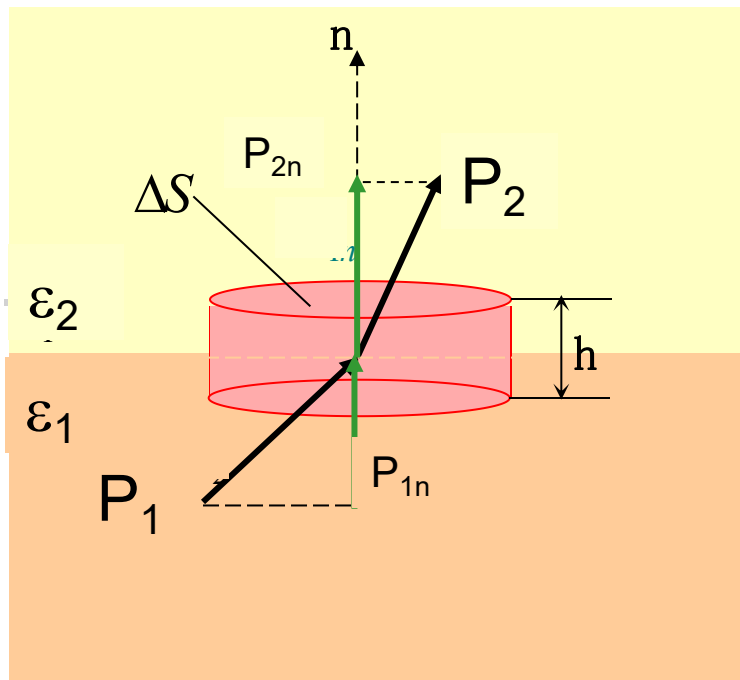
- 在介质分界面取一面元 ΔS
- 过 ΔS 作扁盒型高斯面， h 小

$$\therefore Q' = -\oiint_S \mathbf{P} \cdot d\mathbf{S}, \quad \mathbf{S} \text{向外为正}$$

$$\therefore \sigma_e' dS = -(\mathbf{P}_2 - \mathbf{P}_1) \cdot \mathbf{n} dS,$$

\mathbf{n} 的方向是由介质1指向介质2

$$\sigma_e' = -(\mathbf{P}_2 - \mathbf{P}_1) \cdot \mathbf{n}$$

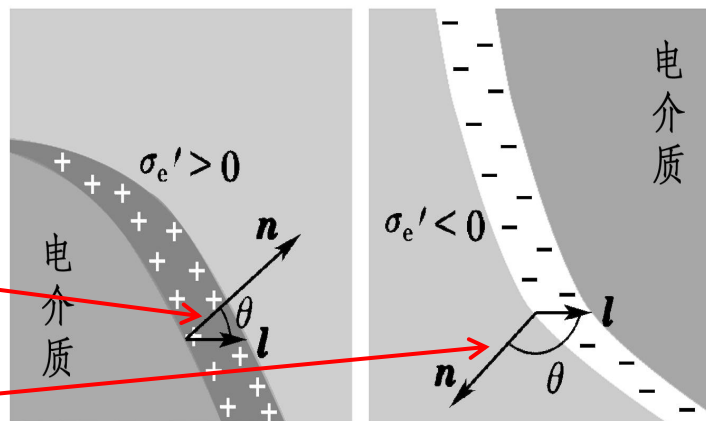


电介质2为真空时

$$\sigma_e' = \mathbf{P} \cdot \mathbf{n} \quad (\mathbf{P}_1 = \mathbf{P}, \mathbf{P}_2 = 0)$$

$$\theta < 90^\circ, \sigma_e' = \mathbf{P} \cdot \mathbf{n} = P_n > 0$$

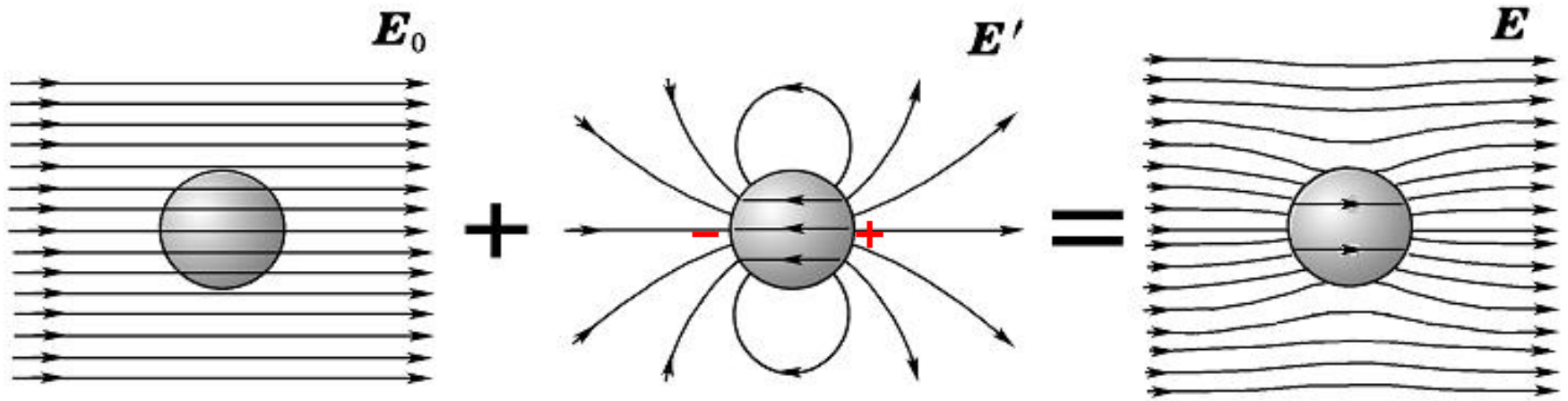
$$\theta > 90^\circ, \sigma_e' = \mathbf{P} \cdot \mathbf{n} = P_n < 0$$



退极化场 E'

有介质时的电场 $E = E_0 + E'$

E_0 \longrightarrow 均匀介质极化 $\longrightarrow q'(\sigma'_e)$ $\longrightarrow E'$

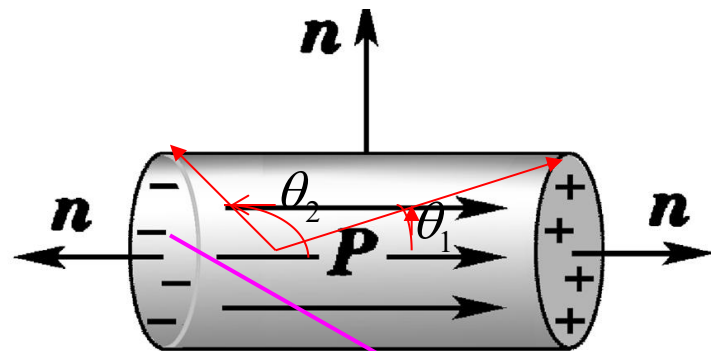


- 在电介质内部： E' 是由极化电荷产生的附加场，与外场 E_0 方向相反，起着减弱极化的作用，称作退极化场
- 在电介质外部：附加场大部分与外电场方向相同，加强

[例2.3] 沿轴**均匀极化**的电介质圆棒；棒长 $2l$ ，半径 R ，极化强度矢量 \mathbf{P} 。求极化电荷的分布和体内轴线上的 \mathbf{E}' 。

[解]

1) \mathbf{P} 是常数 $\rho'_e = -\nabla \cdot \mathbf{P} = 0$



2) $\because \sigma'_e = \mathbf{P} \cdot \mathbf{n}$; \therefore **左面** $\theta = \pi$, $\sigma'_e = -P$

侧面 $\theta = \frac{\pi}{2}$, $\sigma'_e = 0$; **右面** $\theta = 0$, $\sigma'_e = P$

3) 退极化场等效于两圆盘产生的电场, 由[例1.10]

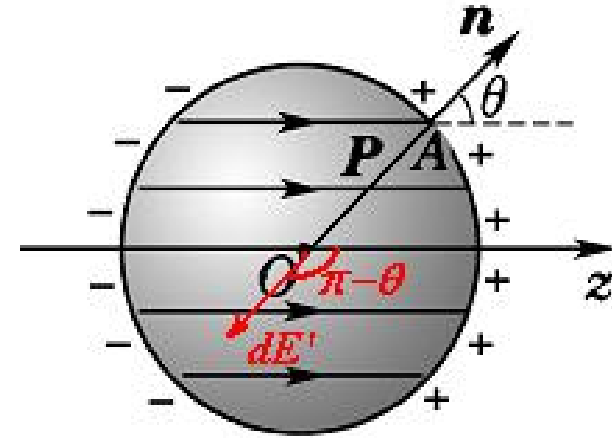
可推出:

$$\mathbf{E}' = -\frac{\mathbf{P}}{2\epsilon_0} (2 - \cos\theta_1 + \cos\theta_2)$$

[例2.4] 均匀极化的电介质球，半径为 R ，极化强度矢量 \mathbf{P} ，求表面上极化电荷分布和球心处的退极化场

[解] (1) $\rho'_e = -\nabla \cdot \mathbf{P} = 0$ ；球关于 z 轴**旋转对称**，其表面任意一点的 σ'_e 只与 θ 有关，则有：

$$\sigma'_e = P \cos \theta \left\{ \begin{array}{l} \text{右半球, } \theta < 90^\circ, \sigma'_e > 0 \\ \text{左半球, } \theta > 90^\circ, \sigma'_e < 0 \\ \theta = \frac{\pi}{2}, \sigma'_e = 0; \text{ 当 } \theta = 0, \pi, |\sigma'_e| \text{ 最大} \end{array} \right.$$



(2) **球心退极化场**：(取球面小面元 dS ，极化电荷为 dq')

$$dq' = \sigma'_e dS = P \cos \theta dS = P \cos \theta R^2 \sin \theta d\theta d\varphi$$

$$d\mathbf{E}' = \frac{-1}{4\pi\epsilon_0} \frac{dq'}{R^3} \mathbf{R} \quad \mathbf{E}' = E_z \hat{\mathbf{Z}} = \hat{\mathbf{Z}} \int_0^\pi \int_0^{2\pi} \cos \theta dE' = -\frac{\mathbf{P}}{3\epsilon_0}$$

三、P与E的关系

■ 极化规律： $P \propto E$

- 电介质内任一点的P是由在该点的总电场E决定的。
- 不同的电介质极化规律不同，由实验来测定。

■ 介质分类：

根据介质极化规律的不同，可将介质分为：

- 均匀线性各向同性电介质
- 各向异性电介质
- 铁电体
- 永电体

■ 各向同性电介质

- P和E方向相同，且有简单的正比关系

$$\mathbf{P} = \chi_e \varepsilon_0 \mathbf{E}$$

- 电极化率 $\chi_e \geq 0$ ，如果与空间位置无关，为均匀介质
- 当场强不是很大是， χ_e 与E无关，为线性介质
- 当场强很大时， χ_e 与E有关，为非线性介质

■ 各向异性电介质

- P与E不平行，关系较为复杂；
- χ_e 常表示为张量形式，称做极化率张量；
- 对线性介质，极化率张量与E无关，且为对称张量：

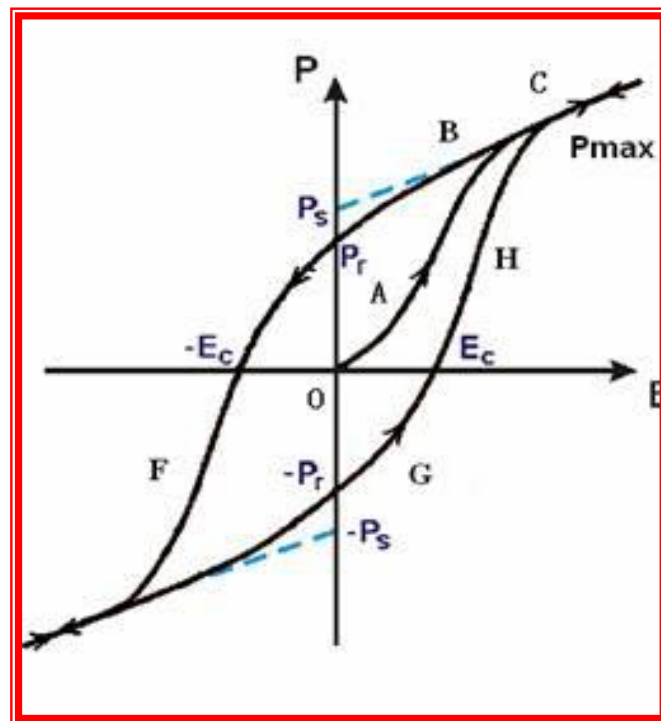

$$\begin{cases} P_x = (\chi_e)_{xx} \varepsilon_0 E_x + (\chi_e)_{xy} \varepsilon_0 E_y + (\chi_e)_{xz} \varepsilon_0 E_z, \\ P_y = (\chi_e)_{yx} \varepsilon_0 E_x + (\chi_e)_{yy} \varepsilon_0 E_y + (\chi_e)_{yz} \varepsilon_0 E_z, \\ P_z = (\chi_e)_{zx} \varepsilon_0 E_x + (\chi_e)_{zy} \varepsilon_0 E_y + (\chi_e)_{zz} \varepsilon_0 E_z. \end{cases}$$

对称张量，即 $(\chi_e)_{xy} = (\chi_e)_{yx}$ ， $(\chi_e)_{xz} = (\chi_e)_{zx}$ ，
 $(\chi_e)_{yz} = (\chi_e)_{zy}$ 。

铁电体

- 极化状态**不仅**决定于电场，**还与极化历史有关**；
- 铁电体极化过程中极化强度矢量 P 随外场的变化曲线是**非线性的**，出现**电滞回线**，有剩余极化强度；
- 极化强度 P 和电场强度 E 有复杂的非线性关系， χ_e **不是常量**，它随 E 变，最大可达**几千**；
- 当温度超过某一温度时，铁电性消失，这一温度叫做**居里温度**；
- 铁电体同时也是**压电体**，但压电体不一定是铁电体；
- 典型的铁电体有酒石酸钾钠单晶、钛酸钡陶瓷等。

电滞回线

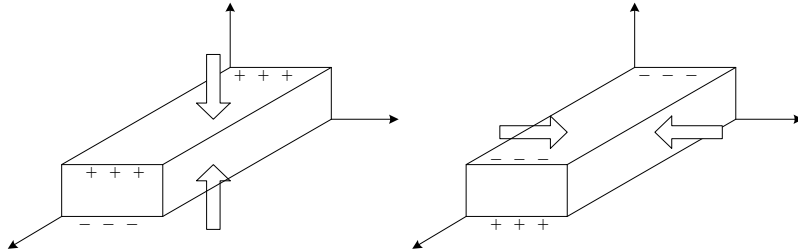


C: 饱和点

P_r : 剩余极化强度

■ 正压电效应

- 当**晶体**受到某固定方向**外力**的作用时，**内部就产生电极化现象**，同时在某两个表面上产生符号相反的电荷；
- 当**外力撤去**后，晶体又恢复到不带电的状态
- 当**外力作用方向改变**时，电荷的极性也随之改变；晶体受力所产生的电荷量与外力的大小成正比。



■ 逆压电效应

- 对晶体**施加交变电场**引起晶体机械变形的现象，又称**电致伸缩效应**。可应用于石英钟表、耳机、激发超声波等。

■ 驻极体（永电体）

- 一种具有**持久性极化**的固体电介质。
- 驻极体可以在周围空间产生电场，因此可以类比于**永磁体**的一种带电体。
- 如当**蜡**和**松香**的**混合物**在外加的强电场中从熔融态固化后，再除去外电场时，混合物固体会长期保持极化状态
- 室温下驻极体的极化状态可以长期保存，但在高温下则衰减得很快。
- 驻极体**可作为静电场的源**，如在电容式声电换能器中，可用驻极体代替电容的一个极板，从而省去了直流偏压。



小结:

■ P与E 是否成正比 (线性与非线性)

$$P = \chi_e \varepsilon_0 E$$

- 凡 χ_e 不含E的介质——线性介质
- 凡 χ_e 含E的介质——非线性介质

■ 介质性质是否随空间坐标变 (空间均匀性)

- χ_e —与空间坐标无关: 均匀介质;
- χ_e —坐标的函数: 非均匀介质

■ 介质性质是否随空间方位变 (方向均匀性)

- χ_e —标量: 各向同性介质;
- χ_e —张量: 各向异性介质

■ 以上概念是从三种不同的角度来描述介质的性质

- 空气: 各向同性、线性、一般是非均匀介质
- 水晶: 各向异性、线性介质
- 酒石酸钾钠、钛酸钡: 各向同性非线性介质——铁电体

[例2.5]平行板电容器间充满极化率为 χ_e 的**均匀线性各向同性介质**，极板自由电荷面密度为 σ_{e0} ，板的面积为 S ，板间距为 d ，求介质的 σ'_e 、 \mathbf{P} 、 \mathbf{E} 和电容 C 。

[解] **关键**是求 \mathbf{E} ，**注意**： \mathbf{E}_0 、 \mathbf{P} 、 \mathbf{E}' 和 \mathbf{E} 均与极板垂直

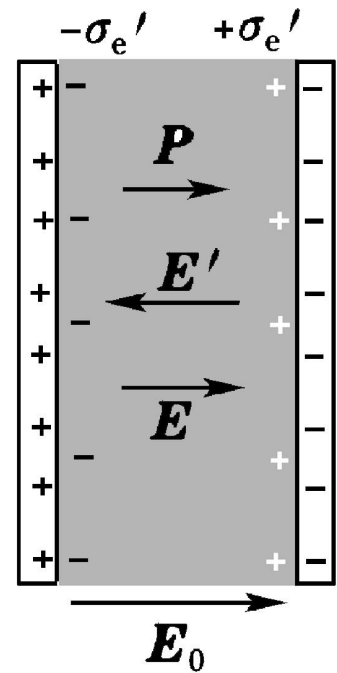
$$E = E_0 + E', \quad E_0 = \sigma_{e0} / \epsilon_0, \quad E' = -\sigma'_e / \epsilon_0 = -P / \epsilon_0 = -\chi_e E$$

$$\therefore E = E_0 / (1 + \chi_e) = \sigma_{e0} / [(1 + \chi_e) \epsilon_0],$$

$$\sigma'_e = P = \chi_e \epsilon_0 E = \frac{\chi_e \sigma_{e0}}{1 + \chi_e}$$

$$C = \frac{Q}{U} = \frac{\sigma_{e0} S}{Ed} = \frac{(1 + \chi_e) \epsilon_0 S}{d} = (1 + \chi_e) C_0 = \epsilon_r C_0$$

令 $\epsilon_r \equiv (1 + \chi_e)$ ，称**相对介电常数**



说明：束缚电荷 \rightleftharpoons ? \rightarrow 极化电荷 否！

- 用摩擦等方法使绝缘体带电：
 - 绝缘体上的电荷——束缚电荷，但不是极化电荷！
 - 实际上它是一种束缚在绝缘体上的自由电荷；
 - 并非起源于极化，因而可以转移与自由电荷中和。
- 介质在随时间变化的电场作用下：
 - 由极化产生的极化电荷 \longrightarrow 束缚电荷(约束在原子范围内)，
 - 不可能转移与自由电荷中和
 - 但它能变化并产生电流 \longrightarrow 极化电流，由 $\partial P / \partial t$ 决定
- 自由、束缚是指电荷所处的状态；
- 感应、极化或摩擦起电是指产生电荷的原因。

§ 2.6 电介质中静电场的基本定理

真空中静电场的基本定理

- 高斯定理
- 环路定理
- 举例应用

$$\oiint_S \mathbf{E} \cdot d\mathbf{S} = \frac{1}{\varepsilon_0} \sum_{S\text{内}} q,$$

$$\oint_L \mathbf{E} \cdot d\mathbf{l} = 0.$$

电荷

- 电介质在外场中会被极化，出现**极化电荷**；
- **自由电荷**与**束缚电荷**同样遵守库仑平方反比定律；

电场

- 不但**自由电荷**要激发电场 E_0 ，电介质中的**束缚电荷**同样也要在它周围空间激发电场 E' （无论电介质内部或外部）；

电场强度叠加原理

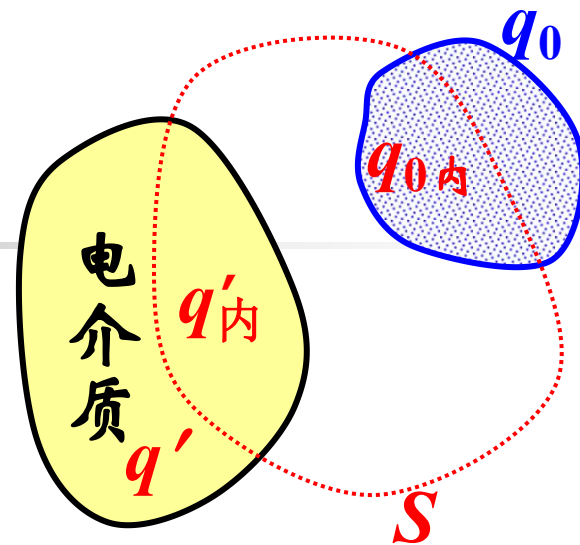
- 在有电介质时，某点的**总电场强度**：

$$\mathbf{E} = \mathbf{E}_0 + \mathbf{E}'$$

一、高斯定理

逻辑、合理的推广：

$$\left. \begin{array}{l} q_0 \rightarrow \mathbf{E}_0 \\ q' \rightarrow \mathbf{E}' \end{array} \right\} \mathbf{E} = \mathbf{E}_0 + \mathbf{E}'$$



$$\oiint_S \mathbf{E} \cdot d\mathbf{S} = \frac{1}{\epsilon_0} \left(\sum q_{0\text{内}} + \sum q'_{\text{内}} \right) \leftarrow \text{库仑定律的结果}$$

$$\text{又 } Q' = \sum q'_{\text{内}} = - \oiint_S \mathbf{P} \cdot d\mathbf{S}$$

$$\Rightarrow \oiint_S \mathbf{E} \cdot d\mathbf{S} = \frac{1}{\epsilon_0} \sum q_{0\text{内}} - \frac{1}{\epsilon_0} \cdot \oiint_S \mathbf{P} \cdot d\mathbf{S}$$

$$\therefore \oiint_S (\varepsilon_0 \mathbf{E} + \mathbf{P}) \cdot d\mathbf{S} = \sum q_{0\text{内}}$$

令 $\mathbf{D} = \varepsilon_0 \mathbf{E} + \mathbf{P}$, 称 \mathbf{D} 为电位移矢量

单位是 C/m^2 (库仑每平方米)

于是有:

$$\oiint_S \mathbf{D} \cdot d\mathbf{S} = \sum q_{0\text{内}} = Q_0$$

电介质中的
高斯定理

对线性各向同性介质: $\mathbf{P} = \chi_e \varepsilon_0 \mathbf{E}$

$$\therefore \mathbf{D} = \varepsilon_0 \mathbf{E} + \chi_e \varepsilon_0 \mathbf{E} = \varepsilon_r \varepsilon_0 \mathbf{E} = \varepsilon \mathbf{E}$$

$$\varepsilon \equiv \varepsilon_r \varepsilon_0 = (1 + \chi_e) \varepsilon_0$$

ε 为绝对介电常数,
 ε_r 为相对介电常数。

如果是**带电体**，令 ρ_{e0} 为自由电荷密度， ρ'_e 为极化电荷密度， ρ_e 为总电荷密度：

$$\rho_e = \rho_{e0} + \rho'_e$$

$$\oiint_S \mathbf{E} \cdot d\mathbf{S} = \frac{1}{\varepsilon_0} \iiint_V \rho_e dV = \frac{1}{\varepsilon_0} \iiint_V (\rho_{e0} + \rho'_e) dV$$

由前结果 $\oiint_S \mathbf{D} \cdot d\mathbf{S} = \iiint_V \rho_{e0} dV = Q_0$

可得电介质中**高斯定理微分表达式**：

$$\nabla \cdot \mathbf{E} = \frac{\rho_e}{\varepsilon_0} = \frac{1}{\varepsilon_0} (\rho_{e0} + \rho'_e), \quad \nabla \cdot \mathbf{D} = \rho_{e0}$$

二、环路定理

- 电介质的存在，只增加了一些新的场源(极化电荷)
- 电介质的存在，并没有改变电场的基本性质
- 静电平衡时，自由电荷和极化电荷满足库仑定律，产生的电场都是静电场
- 总电场的保守场性质不变，所以仍满足环路定理：

$$\oint_L \mathbf{E} \cdot d\mathbf{l} = 0 \rightarrow \nabla \times \mathbf{E} = 0$$

$$\text{其中 } \mathbf{E} = \mathbf{E}_0 + \mathbf{E}'$$

介质中静电场
仍然是一个无
旋的保守场。

三、举例（第四种求E的方法，先求D）

[例2-6-1]证明均匀线性各向同性介质内 $\rho_0=0$ 处必有 $\rho'=0$ 。

[解] $\therefore \Delta q'_{\text{内}} = -\oiint_S \mathbf{P} \cdot d\mathbf{S}$

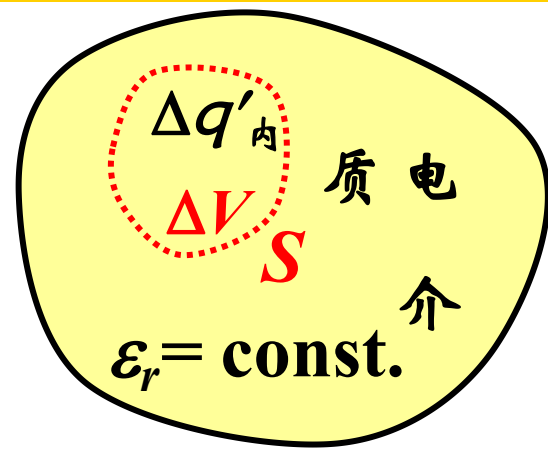
又 $\mathbf{P} = \mathbf{D} - \varepsilon_0 \mathbf{E} = \mathbf{D} - \varepsilon_0 \frac{\mathbf{D}}{\varepsilon} = \left(1 - \frac{\varepsilon_0}{\varepsilon}\right) \mathbf{D}$

$$\Delta q'_{\text{内}} = -\iint_S \left(1 - \frac{\varepsilon_0}{\varepsilon}\right) \mathbf{D} \cdot d\mathbf{S} = \left(\frac{\varepsilon_0}{\varepsilon} - 1\right) \iint_S \mathbf{D} \cdot d\mathbf{S} = \left(\frac{\varepsilon_0}{\varepsilon} - 1\right) \cdot \Delta q_{0\text{内}}$$

$$\rho' = \lim_{\Delta V \rightarrow 0} \frac{\Delta q'_{\text{内}}}{\Delta V} = \left(\frac{\varepsilon_0}{\varepsilon} - 1\right) \cdot \lim_{\Delta V \rightarrow 0} \frac{\Delta q_{0\text{内}}}{\Delta V}$$

$$= \left(\frac{\varepsilon_0}{\varepsilon} - 1\right) \rho_0$$

$$\therefore \rho_0 = 0 \rightarrow \rho' = 0。$$



[例2-6-2]求相对介电常数为 ϵ_r 的无限大均匀线性各向同性电介质中点电荷 q 的场分布。

[解]：已知介质性质、自由电荷分布， q 的场是球对称场，可以先求 D ，以电荷为球心，作球形高斯面：

$$\oiint_S \mathbf{D} \cdot d\mathbf{S} = q$$

$$D \cdot 4\pi r^2 = q$$

$$D = \frac{q}{4\pi r^2}$$

$$E = \frac{D}{\epsilon} = \frac{q\epsilon_0}{\epsilon 4\pi r^2 \epsilon_0} = \frac{\epsilon_0 E_0}{\epsilon} = \frac{E_0}{\epsilon_r}$$

$$U = U_0 / \epsilon_r$$

孤立导体球

$$C = \epsilon_r C_0$$

$$D = \epsilon_0 E_0$$

介质内场强削弱到 $1/\epsilon_r$ ；电容增加为 ϵ_r 倍，所以 ϵ_r 又称为电容率。

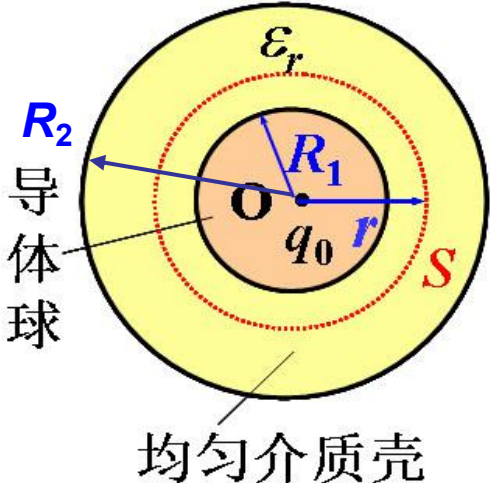
[例2-6-3] 导体球 R_1 带电量 Q_0 和均匀线性各向同性介质球壳 R_2 、电容率为 ϵ_r . 求 E 、介质内表面的 σ'_e 、导体球的 U

[解] 已知介质性质、自由电荷分布，**一维对称问题**：

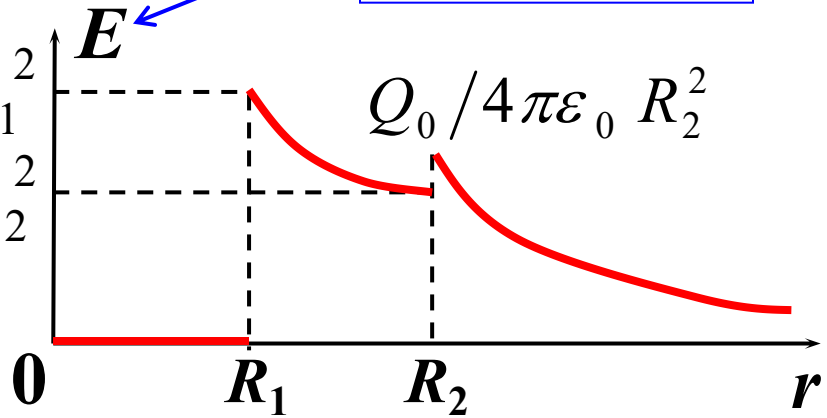
1) 利用高斯定理： $\oiint_S \mathbf{D} \cdot d\mathbf{S} = D \cdot 4\pi r^2 = Q_0$ ，分三个区分别讨论：

$D = 0$	$E_I = 0$	$(r < R_1)$
$D = \frac{Q_0 r}{4\pi r^3}$	$E_{II} = \frac{Q_0 r}{4\pi \epsilon r^3}$	$(R_1 \leq r \leq R_2)$
$D = \frac{Q_0 r}{4\pi r^3}$	$E_{III} = \frac{Q_0 r}{4\pi \epsilon_0 r^3}$	$(r > R_2)$

思考
为什么 E 的曲线不连续？

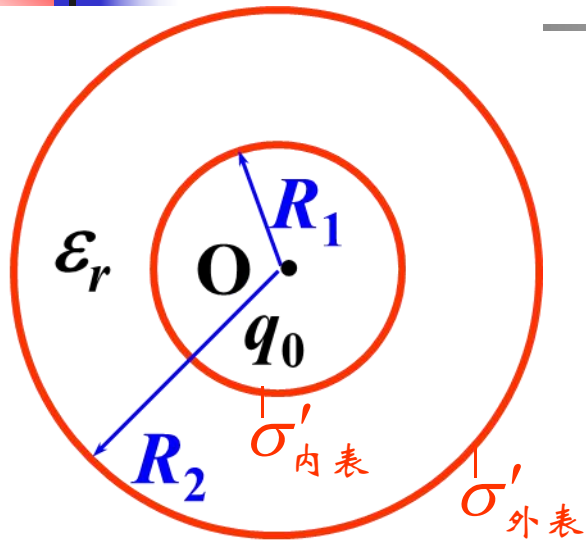


$\frac{Q_0}{4\pi\epsilon} R_1^2$
 $\frac{Q_0}{4\pi\epsilon} R_2^2$



2) 下面求极化电荷 q' 的分布：

在介质内部： $\varepsilon_r = \text{常数}$ ， $\rho_0 = 0 \Rightarrow \rho'_e = 0$



$$\mathbf{P} = \chi_e \varepsilon_0 \mathbf{E}_{II} = (\varepsilon - \varepsilon_0) Q_0 \mathbf{r} / 4\pi \varepsilon r^3$$

$$\sigma'_{\text{内表}} = P_n \Big|_{r=R_1} = -(\varepsilon - \varepsilon_0) Q_0 / 4\pi \varepsilon R_1^2$$

$$\sigma'_{\text{外表}} = P_n \Big|_{r=R_2} = (\varepsilon - \varepsilon_0) Q_0 / 4\pi \varepsilon R_2^2$$

即 $\sigma'_{\text{内表}} = -(\varepsilon - \varepsilon_0) \sigma_{e0} / \varepsilon$

3) 导体球的电势：

$$U = \int_{R_1}^{\infty} \mathbf{E} \cdot d\mathbf{l} = \int_{R_1}^{R_2} \mathbf{E}_{II} \cdot d\mathbf{r} + \int_{R_2}^{\infty} \mathbf{E}_{III} \cdot d\mathbf{r}$$

$$= \frac{Q_0}{4\pi \varepsilon} \left(\frac{1}{R_1} - \frac{1}{R_2} \right) + \frac{Q_0}{4\pi \varepsilon_0 R_2}$$

小结:

真空

$$\oiint_S \mathbf{E} \cdot d\mathbf{S} = \frac{1}{\epsilon_0} \sum_{S\text{内}} q$$

$$\oint_L \mathbf{E} \cdot d\mathbf{l} = 0$$

总电荷(自由、极化)

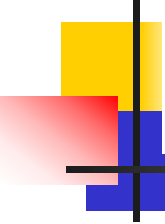
有介质

$$\oiint_S \mathbf{D} \cdot d\mathbf{S} = \sum_{S\text{内}} q_0$$

$$\oint_L \mathbf{E} \cdot d\mathbf{l} = 0$$

自由电荷

- 各向同性、线性介质中 \mathbf{D} 正比于 \mathbf{E} ;
- 普遍情况下,两者关系不简单,不一定成正比关系。



§ 2.7 边值关系和唯一性定理

一、边值关系

电场强度 电位移矢量 电势

二、唯一性定理

三、应用举例

一、边值关系

- 电场内存在多种介质 → 介质间的**交界面** → 极化电荷
- 介质未充满电场空间 → 导体和介质的**交界面** → 极化和自由电荷
- **交界面**的存在会影响整个空间的电场分布
→ 研究电场在交界处的行为十分重要
- 将**电场的基本定理**用到交界面上，研究界面两边电场改变的一般规律，即“**边值关系**”。

(1) 电场强度

在介质交界面取一较小的矩形环路用环路定理:

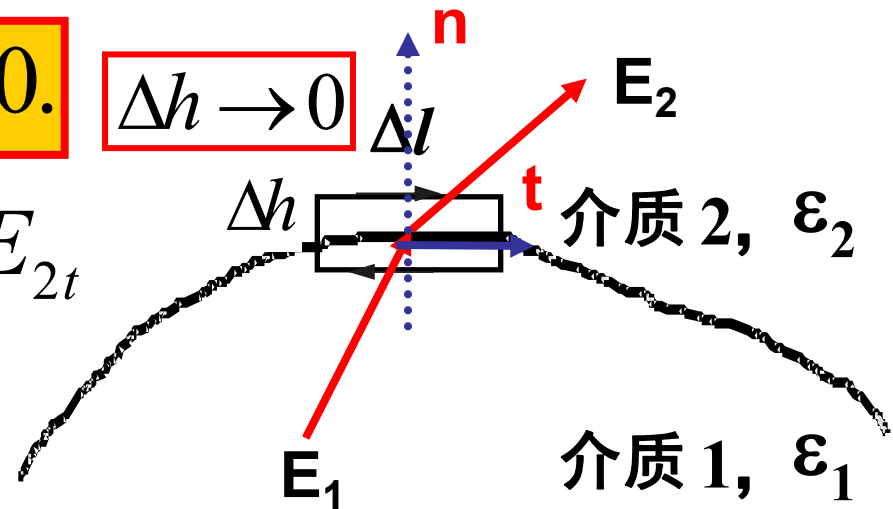
$$\oint_{\text{矩形}} \mathbf{E} \cdot d\mathbf{l} = \mathbf{E}_1 \cdot (-\Delta l \cdot \mathbf{e}_t) + \mathbf{E}_2 \cdot (\Delta l \cdot \mathbf{e}_t)$$
$$= (E_{2t} - E_{1t}) \Delta l \equiv 0 \quad \longrightarrow \quad E_{1t} = E_{2t}$$

界面两边电场强度的切向分量总是相等。

或写成 $\mathbf{n} \times (\mathbf{E}_2 - \mathbf{E}_1) = 0$.

$$\because D_{1t} = \varepsilon_1 E_{1t}; \quad D_{2t} = \varepsilon_2 E_{2t}$$

$$D_{1t} / D_{2t} = \varepsilon_1 / \varepsilon_2$$



(2) 电位移矢量

利用高斯定理，跨界面作柱形高斯面：

$$\oiint_{\text{柱面}} \mathbf{D} \cdot d\mathbf{S} = \mathbf{D}_2 \cdot (\Delta S \cdot \mathbf{n}) + \mathbf{D}_1 \cdot [\Delta S \cdot (-\mathbf{n})] \quad \mathbf{n}: 1 \rightarrow 2$$

$$= (D_{2n} - D_{1n})\Delta S = \sigma_0 \Delta S \quad \longrightarrow \quad D_{2n} - D_{1n} = \sigma_0$$

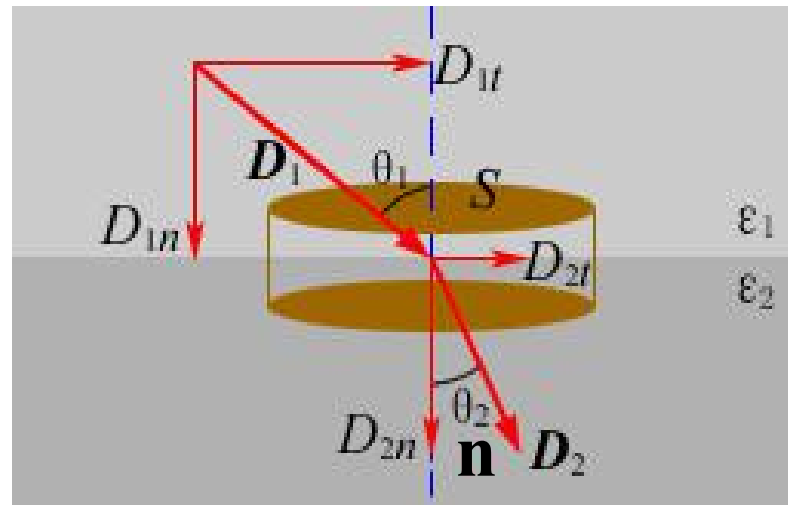
■ 如在电介质界面上，一般 $\sigma_0 = 0$ ，即无自由电荷，所以：

$$D_{1n} = D_{2n} \quad \text{或} \quad \mathbf{n} \cdot (\mathbf{D}_2 - \mathbf{D}_1) = 0$$

$$\therefore -(\mathbf{P}_2 - \mathbf{P}_1) \cdot \mathbf{n} = \sigma'_e \quad (+)$$

$$\therefore (\mathbf{E}_2 - \mathbf{E}_1) \cdot \mathbf{n} = \sigma_e / \epsilon_0$$

σ_e 为总面电荷密度



电场线在介质界面上的“折射”

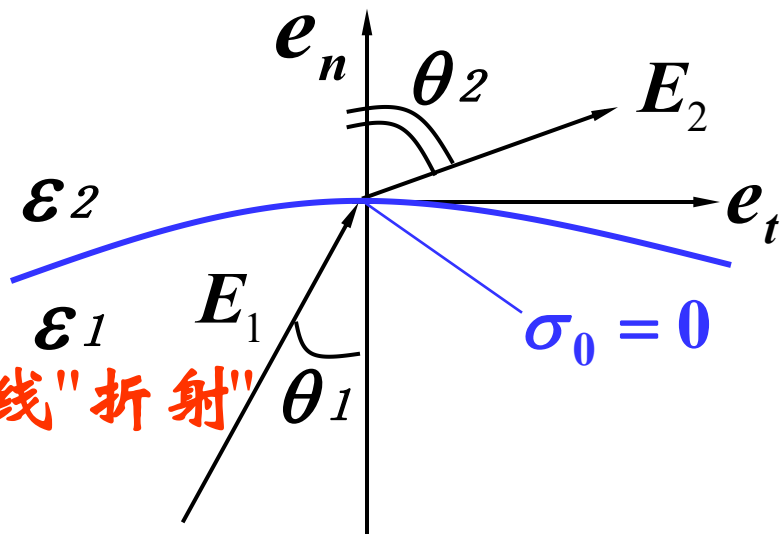
$$\because \sigma_0 = 0, \therefore \text{则 } D_{1n} = D_{2n} \rightarrow \varepsilon_1 E_{1n} = \varepsilon_2 E_{2n}$$

$$\text{又 } E_{1t} = E_{2t}$$

$$\therefore \frac{E_{1t} / E_{1n}}{E_{2t} / E_{2n}} = \frac{\varepsilon_1}{\varepsilon_2}$$

$$\frac{\text{tg } \theta_1}{\text{tg } \theta_2} = \frac{\varepsilon_1}{\varepsilon_2}$$

若 $\varepsilon_1 < \varepsilon_2$, 则 $\theta_1 < \theta_2$



E线“折射”

电场线在穿过介质界面时会产生类似光线折射的现象

(3) 电势

- 在介质界面两侧取距界面为 h 的1, 2两点

$$U_1 - U_2 = \int_1^2 \mathbf{E} \cdot d\mathbf{L}$$

$$= E_{1n} h + E_{2n} h$$

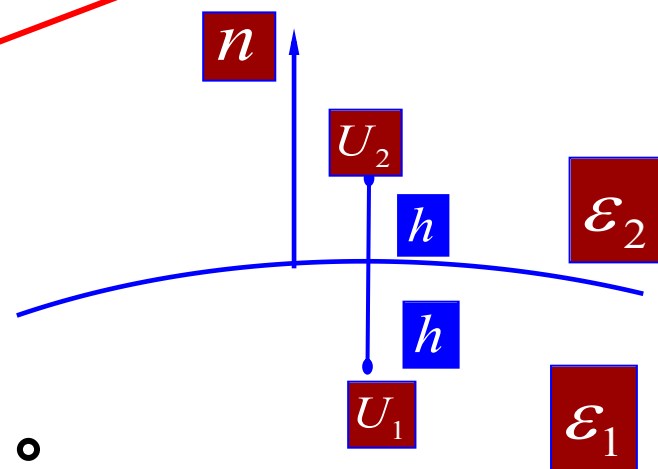
$$= E_{1n} h (1 + \epsilon_1 / \epsilon_2)$$

- 其连线平行法线，两点的电势分别为 U_1 和 U_2

$$\xrightarrow{h \rightarrow 0} U_1 - U_2 = 0$$

- 当 $h \rightarrow 0$ 时，两点的电势差为0，即：

$$U_1 = U_2$$



介质界面两侧电势总是连续的。

小结 (界面两边一定满足下面条件)

1、**E** 的切向分量总是连续的

■ 界面一点上的法线方向只有一个，而该点的切线方向却有无数多个，结论对任一切线方向成立

$$\begin{cases} E_{1t} = E_{2t} \\ D_{1t} = \varepsilon_1 \\ D_{2t} = \varepsilon_2 \end{cases}$$

2、对无自由电荷的界面，

D 的法向分量连续

$$\begin{cases} D_{1n} = D_{2n} \\ E_{1n} = \varepsilon_2 \\ E_{2n} = \varepsilon_1 \end{cases}$$

3、介质界面两侧的电势总是连续的

$$U_1 = U_2$$

4、极化强度矢量和极化面电荷

$$\sigma'_e = P_{1n} - P_{2n}$$

二、唯一性定理

■ 求解静电场问题

- 给定空间电荷的分布,如何知道空间各处的电场?
- 原则:库仑定律+叠加原理→空间各点电场强度 E

■ 实际情况: 有导体时

- 要知道每个导体表面的面电荷分布很困难;
- 即使知道 σ_e , 但 E 是矢量, 使得计算极为繁杂;
- 容易确定的是每个导体的电势或者总电量。

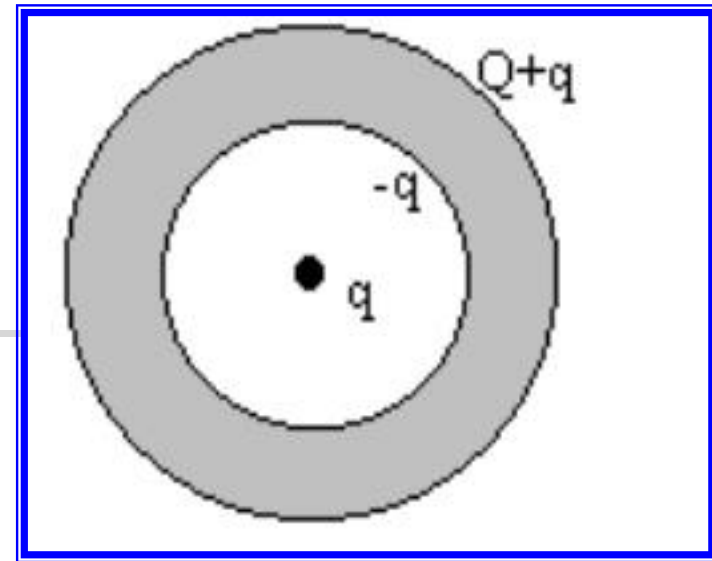
■ 求解思路: 先求得 U , 再利用 $E = -\nabla U$ 得 E

演绎得基本方程：

$$\because \nabla \cdot \mathbf{E} = \rho_e / \varepsilon_0, \quad \mathbf{E} = -\nabla U.$$

$$\because \nabla^2 U = -\rho_e / \varepsilon_0 \rightarrow \text{泊松方程}$$

如果 $\nabla^2 U = 0 \rightarrow$ 拉普拉斯方程



- 将问题**转换**为求解一个标量函数的二阶偏微分方程；
- 已知仅有此方程不能确定空间U分布，**还需边界条件**。

典型的静电场问题：即在给定一定**边界条件**下，求解泊松方程的问题。

对于静电场，给定什么样的条件，空间存在确定的电场解？ —— **唯一性定理**

(一) 带电导体系——唯一性定理

- 当给定电场的边界条件，即给定包围电场空
间的边界面 S 上的电势 U_S ，给定 S 内各导体的
形状、大小及各导体之间的相对位置，当然
有限个点电荷分布要已知，同时再给定下列
两条条件之一：

(1) S 面内每个导体的电势 U_i

(2) S 面内每个导体上的总电量 q_i

(其中 $i=1,2,\dots$ 为导体的编号)

- 则在以 S 为边界面的空间内由高斯定理和环路
定理确定的静电场解是唯一的。

(二) 含电介质体系——唯一性定理

- 当**给定**空间**边界面** S **上的电势** U_S ，**给定** S 面内**各均匀介质**按区域分布的情况和各电介质的介电常数 ε_i ，**给定** S 内各**导体**的形状、大小及各导体之间的相对位置，当然有限个点电荷分布要已知，**同时再给定**下列两条件之一：

(1) S 面内每个导体的电势 U_i

(2) S 面内每个导体上的总电量 q_i

(其中 $i=1,2,\dots$ 为导体的编号)

- 则边界面 S 所包围的空间内**静电场解是唯一的**。

唯一性定理的含意

满足一定的条件和边界条件的、存在于空间的电场分布应该是唯一的,即给定这些条件后,不可能存在不同的静电场分布。

■ 证明:

- 利用反证法论证见书中**P56**
- 理论证明在电动力学中给出

几点说明

- 唯一性定理提出了**定解的充分必要条件**。
 - 求解时，**判断问题**的条件、边界条件是否足够？
如果足够，则可**断定解是唯一的**。
 - 不同的方法得到的**解**在形式上可能不同，但**等价**。
- 唯一性定理对于**解决实际问题**有着重要的意义。
 - 对于许多实际问题，往往需要**根据给定的条件作一定的分析，提出尝试解**。
 - 如果所提出的**尝试解**满足唯一性定理所要求的条件，它就是该问题的**唯一正确的解**。

* 三、应用举例（第五种求E的方法）

研究分区均匀线形各向同性介质的电场求解问题（由边值关系猜解）：

- 介质界面与电场线重合的情况
- 介质界面与等势面重合的情况
- 其他情况：电动力学方法处理

介质界面与电场线重合

- 见右下图，带电量为 Q_0 的球形电容器。E与介质界面重合，则P在界面上没有法向分量，则两种介质分界面上极化面电荷为0。

$$\because P = \chi_e \epsilon_0 E$$

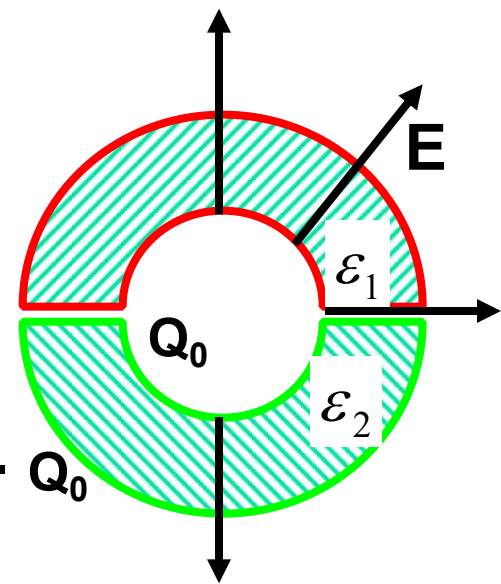
$$\because \sigma'_e = -(P_2 - P_1) \cdot n$$

- σ'_e 只可能存在于介质和导体的边界面上。
- 而导体静电平衡要求导体内的E恒为0，所以导体表面的自由电荷会自动调整，从而维持总电荷面密度分布形式不变；

\therefore 介质界面两边E切向分量应相等。

\therefore 可设介质中 $E = \alpha E_0$ ，其中 α 是个常数。

- 为确定 α 因子，我们要用到高斯定理：



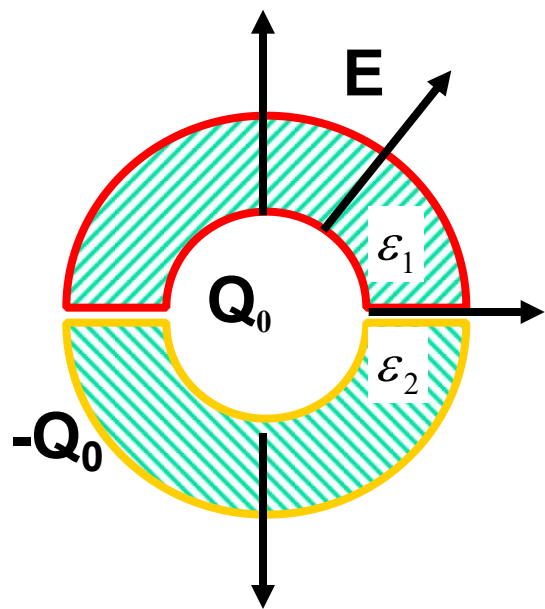
$$\alpha \sum_i \iint_{S_i} \epsilon_i E_0 \cdot dS = Q_0$$

$$\oiint_S D \cdot dS = \sum_i \iint_{S_i} \epsilon_i E \cdot dS = \sum_i \alpha \iint_{S_i} \epsilon_i E_0 \cdot dS = Q_0$$

式中 S 为包含某导体面的高斯面， S_i 是 S 的一部分，它位于第 i 种介质之中； Q_0 为该导体所带的自由电荷量，在真空中所产生的电场为 E_0 。

■ 对 E_0 一维对称性问题，则 E 也有一维对称性，不必引入 α ，使得问题简化。这时可利用高斯定理直接计算电场强度 E 。
 [例2-7-1] 球形电容器带电量 Q_0 ，极板间充满介电常数分别为 ε_1 和 ε_2 的两种介质，求介质中的 D 和 E 。

[解] 介质界面与电场线重合， E 是一维对称性问题，所以可以直接利用高斯定理：



$$\oiint_S \mathbf{D} \cdot d\mathbf{S} = 2\pi r^2 (D_1 + D_2)$$

$$= E(2\pi r^2 \varepsilon_1 + 2\pi r^2 \varepsilon_2) = Q_0,$$

$$\Rightarrow \mathbf{E} = \frac{Q_0 \mathbf{r}}{2\pi(\varepsilon_1 + \varepsilon_2)r^3},$$

$$\mathbf{D}_1 = \varepsilon_1 \mathbf{E} = \frac{\varepsilon_1 Q_0 \mathbf{r}}{2\pi(\varepsilon_1 + \varepsilon_2)r^3},$$

$$\mathbf{D}_2 = \varepsilon_2 \mathbf{E} = \frac{\varepsilon_2 Q_0 \mathbf{r}}{2\pi(\varepsilon_1 + \varepsilon_2)r^3}.$$

[例2-7-2]平行板电容器，带电 Q_0 ，板间距 d ，长度 a ，宽度 $b=b_1+b_2$ 。介电常数为 ε_1 和 ε_2 。求 C 和极板上自由电荷 σ_e

[解]介质界面与电场线重合，且 E 是一维对称性问题，所以可以直接利用高斯定理：

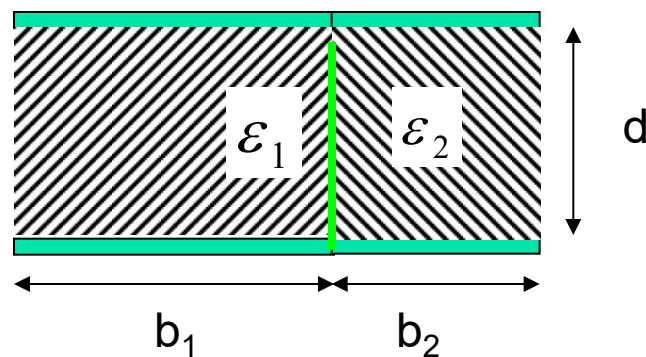
$$\oiint_S \mathbf{D} \cdot d\mathbf{S} = E(b_1\varepsilon_1 + b_2\varepsilon_2)a = Q_0 \quad \Rightarrow \quad E = \frac{Q_0}{(b_1\varepsilon_1 + b_2\varepsilon_2)a},$$

$$C = \frac{Q_0}{Ed} = \frac{(b_1\varepsilon_1 + b_2\varepsilon_2)a}{d}, \quad \sigma_{e1} = D_{n1} = \varepsilon_1 E = \frac{\varepsilon_1 Q_0}{(b_1\varepsilon_1 + b_2\varepsilon_2)a},$$

$$\sigma_{e2} = D_{n2} = \varepsilon_2 E = \frac{\varepsilon_2 Q_0}{(b_1\varepsilon_1 + b_2\varepsilon_2)a}.$$

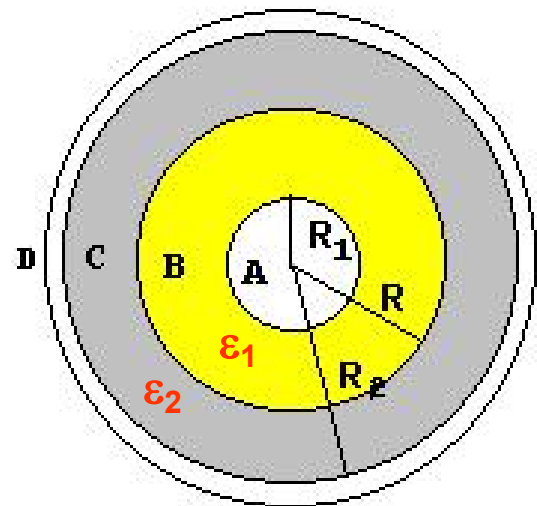
自由电荷 $\sigma_{e1} \neq \sigma_{e2}$

自由电荷在极板上分布是不均匀的，但这种不均匀性正好由极化电荷所补偿，可以计算总面电荷密度是均匀分布的。电容器内电场仍是均匀分布的。

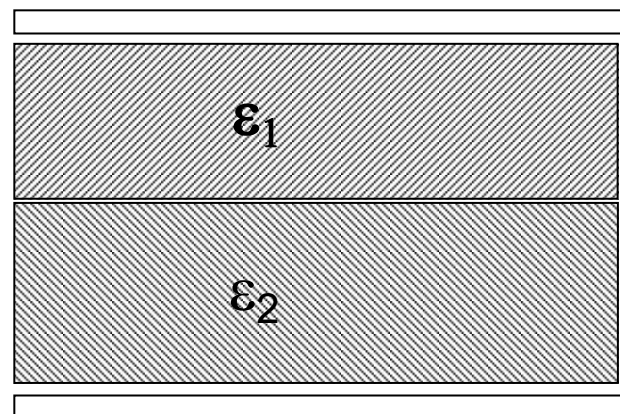


介质界面与等势面重合

- 介质界面与等势面重合 \longleftrightarrow 介质界面与电场线垂直，见右两图问题
- 由D的法向分量连续，猜介质中
- $D = \epsilon_0 E_0$ ，可证明D和 $\epsilon_0 E_0$ 同时满足高斯定理和环路定理，见P59。
- E_0 为自由电荷的电场，其计算完全等同于真空中的静电场。
- 处理步骤：
 - 首先去掉介质，计算自由电荷产生的电场 E_0 ，或由已知关系算 E_0
 - 利用 $E_i = D / \epsilon_i = \epsilon_0 E_0 / \epsilon_i$ 求出 E_i



球型电容器



平行板电容器

[例2-7-3]平行板电容器，两板间充满厚度分别为 d_1 、 d_2 ，介电常数为 ϵ_1 、 ϵ_2 的两层介质；板间电压为 U 。求：
1) 两板间的电场； **2)** 介质分界面处的总面电荷密度；
3) 介质分界面处的自由面电荷密度？

[解] 介质界面与电场线垂直， $\mathbf{E}_i = \mathbf{D} / \epsilon_i = \epsilon_0 \mathbf{E}_0 / \epsilon_i$

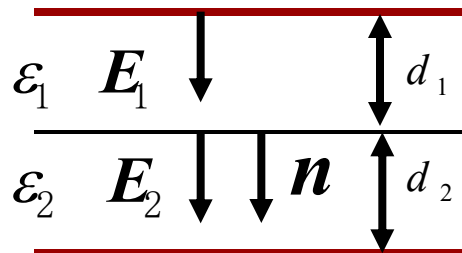
$$1) \text{ 已知: } U = E_1 d_1 + E_2 d_2 = \epsilon_0 E_0 d_1 / \epsilon_1 + \epsilon_0 E_0 d_2 / \epsilon_2,$$

$$\therefore E_0 = \frac{U}{\epsilon_0 (d_1 / \epsilon_1 + d_2 / \epsilon_2)} \Rightarrow E_1 = \frac{\epsilon_0 E_0}{\epsilon_1}, \quad E_2 = \frac{\epsilon_0 E_0}{\epsilon_2}.$$

$$2) \quad \mathbf{n} \cdot (\mathbf{E}_2 - \mathbf{E}_1) = \sigma_t / \epsilon_0, \quad \sigma_t = \epsilon_0 (E_2 - E_1)$$

$$3) \quad \mathbf{n} \cdot (\mathbf{D}_2 - \mathbf{D}_1) = \sigma_0,$$

$$\therefore \mathbf{D} = \epsilon_0 \mathbf{E}_0 = \mathbf{D}_1 = \mathbf{D}_2, \quad \therefore \sigma_0 = 0.$$



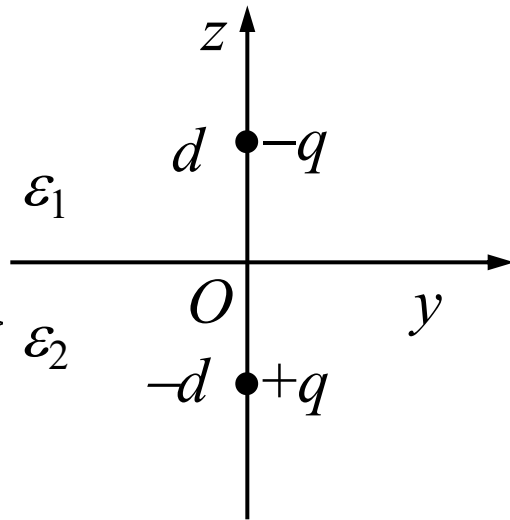
[例2.7.4]如右下图所示，一无限大平面（ $z = 0$ ）将介电常量分别为 ϵ_1 和 ϵ_2 的介质隔开，在 z 轴上 $z = \pm d$ 的位置分别放置点电荷 $\mp q$ ，求空间电场分布。

[解]当去掉介质， xoy 平面恰好为两点电荷的电场的等势面；又 \mathbf{E}_0 、 \mathbf{P} 、 \mathbf{E} 方向相同，因此，本题属于介质界面与等势面重合的情况。先求：

$$E_{0x} = \frac{qx}{4\pi\epsilon_0} \left\{ \frac{1}{[x^2 + y^2 + (z+d)^2]^{3/2}} - \frac{1}{[x^2 + y^2 + (z-d)^2]^{3/2}} \right\}$$

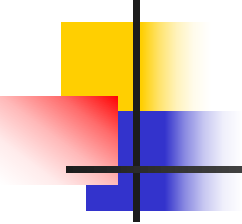
$$E_{0y} = \frac{qy}{4\pi\epsilon_0} \left\{ \frac{1}{[x^2 + y^2 + (z+d)^2]^{3/2}} - \frac{1}{[x^2 + y^2 + (z-d)^2]^{3/2}} \right\}$$

$$E_{0z} = \frac{q}{4\pi\epsilon_0} \left\{ \frac{z+d}{[x^2 + y^2 + (z+d)^2]^{3/2}} - \frac{z-d}{[x^2 + y^2 + (z-d)^2]^{3/2}} \right\}$$



$$\because \mathbf{D} = \epsilon_0 \mathbf{E}_0$$

$$\therefore \mathbf{E} = \mathbf{D} / \epsilon_1 = (\epsilon_0 / \epsilon_1) \mathbf{E}_0 \quad (z > 0), \quad \mathbf{E} = \mathbf{D} / \epsilon_2 = (\epsilon_0 / \epsilon_2) \mathbf{E}_0 \quad (z < 0)$$



其他情况

- 介质界面与电场线和等势面都不重合，一般用：**电动力学**方法处理
- 对于某些具有**特定几何形状的介质面的**问题，可以利用**电像法**求解

§ 2.8 电像法（第六种求E的方法）

定义：

- 求解静电场问题的特殊方法，由W.汤姆孙于1848年提出。用于计算一定形状导体面附近的电荷所产生的静电场。

原因：

- 在电荷的附近出现导体面(或介质分界面)时，这些面(有感应电荷或极化电荷)对电场有影响，求解困难。

解决方法：

- 电像法就是利用已经熟悉的静电学知识，通过在这些面的另一侧适当位置，设置电量适当的假想电荷(称为像电荷)，保证场的边界条件得到满足，等效地代替实际导体或电介质界面上的感应电荷与极化电荷求解。

物理根据：

- 根据静电唯一性定理，在求解区域中，源电荷与像电荷产生的电场满足边界条件，它就是实际存在的电场。

一、范围步骤

基本思路

- 用假想的、求解区域外的像电荷代替边界上的感应电荷与束缚电荷；
- 保持求解区域中场方程和边界条件的不变。

使用范围

- 区域内只有一个或者几个点电荷。点电荷个数有限；
- 区域的边界是导体或者介质。界面几何形状较规范。

解题步骤

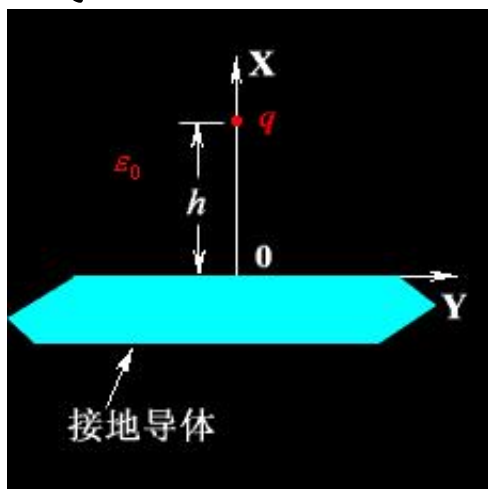
- 先确定像电荷的大小和位置，利用满足原边界条件；
- 去掉界面，按原电荷和像电荷求所要求区域的电场；
- 再求边界上的感应电荷与束缚电荷；
- 最后求电场力。

二、应用举例

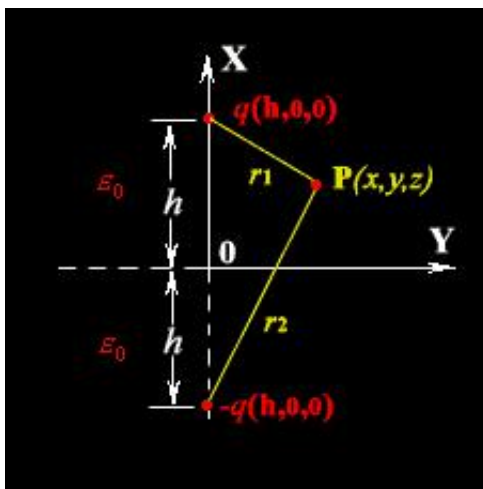
[例2-8-1]距无限大**接地导体板**为 h 处有一点电荷 q 。求：点电荷一侧场的分布，板上的电荷分布以及电荷 q 所受的力。

分析：边界条件是YOZ面为零电位面。根据已有的知识，用位于导体平面**下方** h 处的**镜像电荷** $-q$ 代替导体平面上的感应电荷，**可满足给定的边界条件**。

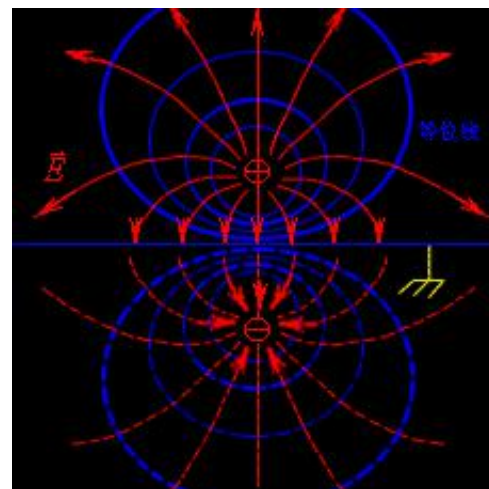
解题：去掉导体面，用原电荷和像电荷求解导体上方区域场。



接地导体面上方有点电荷 q



镜像电荷 $-q$



点电荷的平面镜像

于是可得上半空间电位:

$$U = \frac{q}{4\pi\epsilon_0 r_1} + \frac{-q}{4\pi\epsilon_0 r_2} = \frac{q}{4\pi\epsilon_0} \left[\frac{1}{\sqrt{z^2 + y^2 + (x-h)^2}} - \frac{1}{\sqrt{z^2 + y^2 + (x+h)^2}} \right]$$

电场强度: $E_x = -\frac{\partial U}{\partial x}, E_y = -\frac{\partial U}{\partial y}, E_z = -\frac{\partial U}{\partial z}$; 当 $x=0$, 即面板上:

$$E_y|_{x=0} = 0, E_z|_{x=0} = 0, E_x|_{x=0} = -qh/2\pi\epsilon_0(h^2 + R^2)^{3/2}$$

感应电荷: $\sigma_e = \epsilon_0 E_x|_{x=0} = -qh/2\pi(h^2 + R^2)^{3/2}$ $R^2 = y^2 + z^2$

$$Q = \iint_S \sigma_e dS = \int_0^{2\pi} \int_0^\infty \frac{-qh}{2\pi(h^2 + R^2)^{3/2}} R dR d\varphi = \frac{qh}{(h^2 + R^2)^{1/2}} \Big|_0^\infty = -q = q'$$

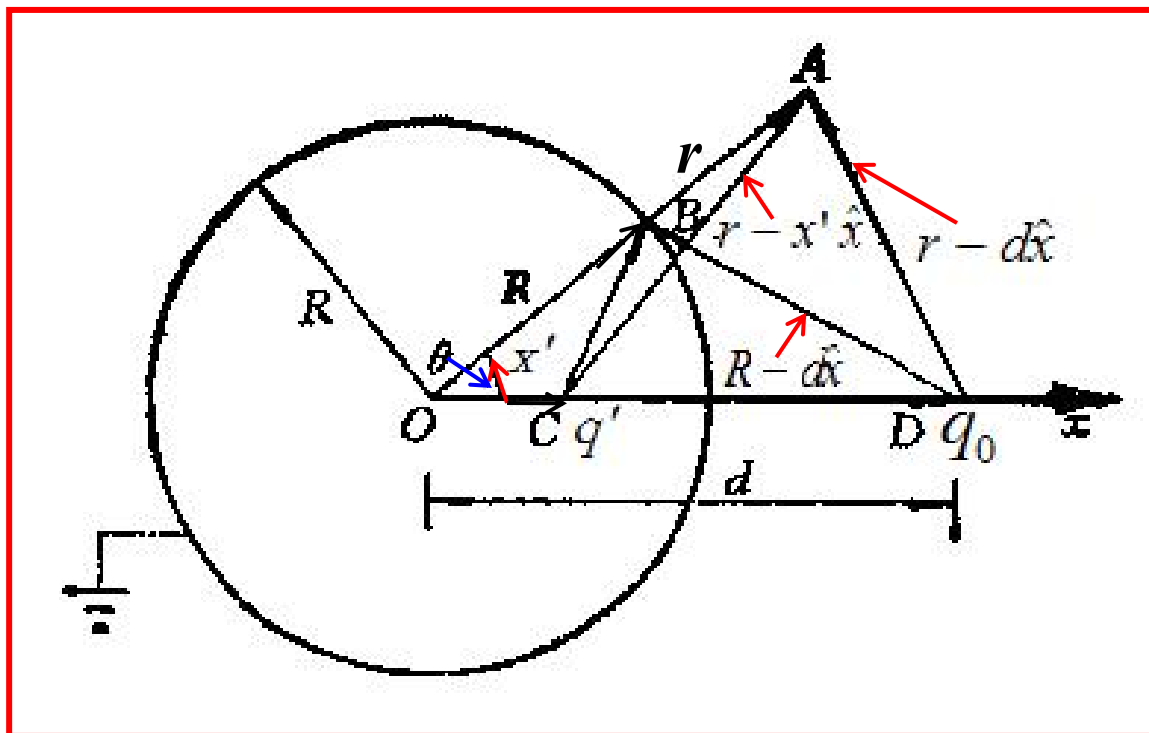
电场力: 像电荷 $-q$ 在点电荷 q 产生的电场:

$$E_y|_{x=h} = 0, E_z|_{x=h} = 0, E_x|_{x=h} = -q/16\pi\epsilon_0 h^2,$$

$$F = qE = qE_x|_{x=h} \hat{x} = -q^2/16\pi\epsilon_0 h^2 \hat{x}.$$

*[例2-8-2]真空中有一半径为 R 接地导体球壳，距球心为 d ($d>R$)处有点电荷 q_0 ,求空间各点电场、球壳 σ_e 和 q_0 受力

- [分析]: 对称性分析, 设导体球内距离球心 O 为 x' 的 C 点处, 置一像电荷 q' 来代替导体球上的感应电荷, 维持导体球面电位为零。
- [解题]: 去掉导体球, 用原电荷和像电荷求解导体球外区域场, 注意! 不能用原电荷和像电荷求解导体球内区域场! 步骤为:
 - 求解像电荷的大小和位置;
 - 求解电位、电场强度、感应电荷



■ 求解**镜像电荷的大小和位置**：将原导体球移去， q_0 及像电荷 q' 在原球面上任一点B处产生的电位应为零，即：

在A点处：

$$U = \frac{1}{4\pi\epsilon_0} \left(\frac{q_0}{|\mathbf{r} - d\hat{\mathbf{x}}|} + \frac{q'}{|\mathbf{r} - x'\hat{\mathbf{x}}|} \right)$$

利用边界条件

$$U|_{r=R} = \frac{1}{4\pi\epsilon_0} \left(\frac{q_0}{|\mathbf{R} - d\hat{\mathbf{x}}|} + \frac{q'}{|\mathbf{R} - x'\hat{\mathbf{x}}|} \right) = 0$$

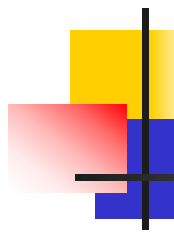
由上式导出：

$$\frac{q_0 / R}{\left| \hat{\mathbf{r}} - \frac{d}{R} \hat{\mathbf{x}} \right|} = - \frac{q' / x'}{\left| \frac{R}{x'} \hat{\mathbf{r}} - \hat{\mathbf{x}} \right|},$$

该式成立的充分必要条件是**分子、分母分别相等**，亦即：

$$\frac{q_0}{R} = - \frac{q'}{x'}, \quad \left| \hat{\mathbf{r}} - \frac{d}{R} \hat{\mathbf{x}} \right| = \left| \frac{R}{x'} \hat{\mathbf{r}} - \hat{\mathbf{x}} \right|$$

其中第二个等式**利用余弦定理**化为：


$$1 - \frac{2d}{R} (\hat{r} \cdot \hat{x}) + \left(\frac{d}{R} \right)^2 = 1 - \frac{2R}{x'} (\hat{r} \cdot \hat{x}) + \left(\frac{R}{x'} \right)^2$$

从中解得 $d/R = R/x'$ ，将其代入第一个等式，求得像电荷的位置和电量，结果为：

$$x' = \frac{R^2}{d}, \quad q' = -\frac{R}{d} q_0$$

■ 于是，求得球壳外（ $r \geq R$ ）的**电势**和**电场**表达式如下：

$$U = \frac{q_0}{4\pi\epsilon_0} \left[\frac{1}{(r^2 + d^2 - 2dr \cos\theta)^{1/2}} - \frac{R}{(r^2 d^2 + R^4 - 2rdR^2 \cos\theta)^{1/2}} \right]$$
$$E_r = \frac{q_0}{4\pi\epsilon_0} \left[\frac{r - d \cos\theta}{(r^2 + d^2 - 2dr \cos\theta)^{3/2}} - \frac{Rd (rd - R^2 \cos\theta)}{(r^2 d^2 + R^4 - 2rdR^2 \cos\theta)^{3/2}} \right]$$

$$E_{\theta} = \frac{q_0 d \sin \theta}{4\pi \varepsilon_0} \left[\frac{1}{(r^2 + d^2 - 2dr \cos \theta)^{3/2}} - \frac{R^3}{(r^2 d^2 + R^4 - 2rdR^2 \cos \theta)^{3/2}} \right]$$

■ 不难验证 $E_{\theta}|_{r=R} = 0$ ，即导体壳表面电场切向分量为零。

导体表面的面电荷密度为：

$$\sigma_e(R, \theta) = \varepsilon_0 E_n = \varepsilon_0 E_r(R, \theta) = -\frac{q_0(d^2 - R^2)}{4\pi R(R^2 + d^2 - 2Rd \cos \theta)^{3/2}}$$

■ 导体壳上的总电量为：

$$\begin{aligned} q_i &= \int_0^{2\pi} \int_0^{\pi} \sigma_e(R, \theta) \cdot R^2 \sin \theta d\theta d\varphi \\ &= -\frac{q_0(d^2 - R^2)R}{2} \int_0^{\pi} \frac{\sin \theta d\theta}{(R^2 + d^2 - 2Rd \cos \theta)^{3/2}} = -\frac{R}{d} q_0, \end{aligned}$$

即 $q_i = q'$ ，导体壳上的总电量与像电荷的电量相等。

■ 作用到 q_0 上的力，也就是像电荷 q' 对它的库仑力，即：

$$F = \frac{q_0 q' \hat{x}}{4\pi \varepsilon_0 (d - x')^2} = -\frac{q_0^2 (R/d) \hat{x}}{4\pi \varepsilon_0 [d - (R^2/d)]^2} = -\frac{Rd q_0^2 \hat{x}}{4\pi \varepsilon_0 (d^2 - R^2)^2}$$

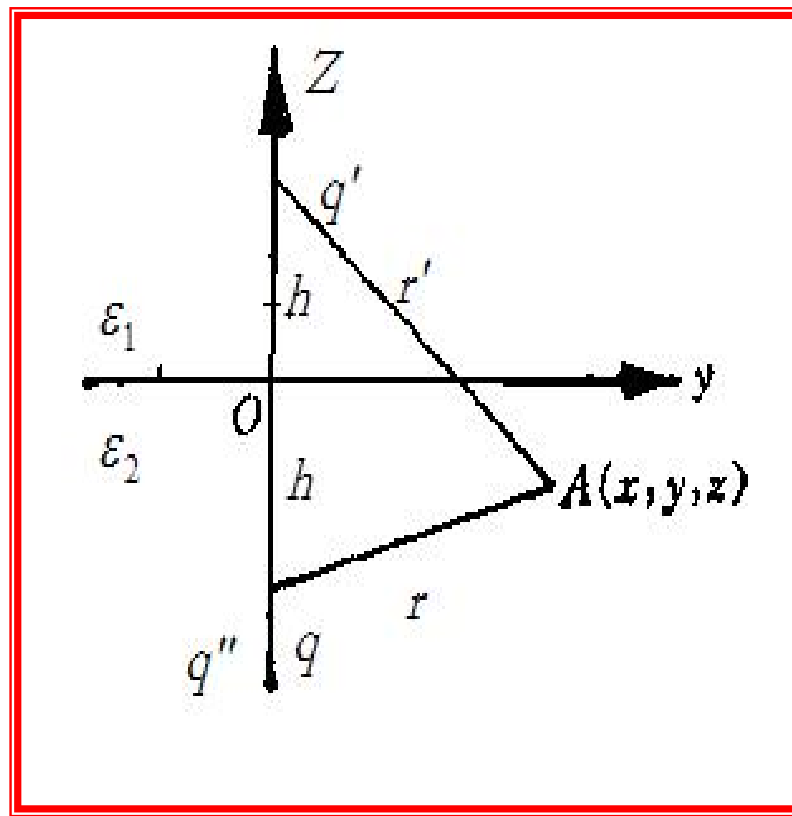
*[例2-8-3]如右下图所示，介电常量分别为 ϵ_1 和 ϵ_2 半无限介质的界面为一无限平面，在介质2中置入点电荷 q ，它与界面的垂直距离为 h ，求界面极化电荷的分布。

[解] 我们尝试用电像法来解，即用像电荷来代表界面上极化电荷对电场的贡献。

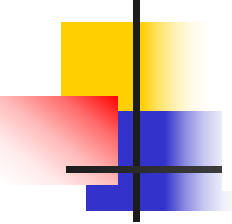
如右图所示：

■ 设对 ϵ_2 区 ($z < 0$)，这一贡献可用像电荷 q' 代表；

■ 而对 ϵ_1 区 ($z \geq 0$)，可用像电荷 q'' 代表。



求得两区域**电势**的表达式为：


$$U_1 = \frac{1}{4\pi r} \left(\frac{q}{\varepsilon_2} + \frac{q''}{\varepsilon_0} \right), \quad (z \geq 0),$$

$$U_2 = \frac{1}{4\pi} \left(\frac{q}{\varepsilon_2 r} + \frac{q'}{\varepsilon_0 r'} \right), \quad (z \leq 0)$$

注意上述表达式中，**源电荷的贡献**应被所在介质中的介电常量除，这相当于计入了源电荷周围的极化电荷的贡献；而**像电荷已代替了介质的贡献**，所以采用真空中的电势计算公式。

上述电场应满足如下边值关系：

D 的法向分量相等

$$U_1 \Big|_{z=0} = U_2 \Big|_{z=0}, \quad \varepsilon_1 \frac{\partial U_1}{\partial z} \Big|_{z=0} = \varepsilon_2 \frac{\partial U_2}{\partial z} \Big|_{z=0}$$

将 U_1 和 U_2 的表达式代入上面两式分别求得：

$$q'' = q', \quad \varepsilon_1 \left(\frac{q}{\varepsilon_2} + \frac{q''}{\varepsilon_0} \right) = \varepsilon_2 \left(\frac{q}{\varepsilon_2} - \frac{q'}{\varepsilon_0} \right)$$

可解出：

$$q' = q'' = \frac{\varepsilon_0 (\varepsilon_2 - \varepsilon_1)}{\varepsilon_2 (\varepsilon_1 + \varepsilon_2)} q$$

束缚面电荷密度：

$$\begin{aligned} \sigma'_e &= (P_{2z} - P_{1z})_{z=0} = [(\varepsilon_2 - \varepsilon_0)E_{2z} - (\varepsilon_1 - \varepsilon_0)E_{1z}]_{z=0} \\ &= \varepsilon_0 (E_{1z} - E_{2z})_{z=0} = \frac{q'h}{2\pi r^3} = \frac{\varepsilon_0 (\varepsilon_2 - \varepsilon_1) h q}{2\pi \varepsilon_2 (\varepsilon_1 + \varepsilon_2) r^3} \end{aligned}$$

讨论：当取 $\varepsilon_1 \rightarrow \infty$, $\varepsilon_2 = \varepsilon_0$ 时，我们得到如下结果：

$$q' = q'' = -q, \quad U_1 = 0, \quad U_2 = \frac{q}{4\pi\varepsilon_0} \left(\frac{1}{r} - \frac{1}{r'} \right)$$

上述结果和 **例2-8-1** 的结果一致。因此，在静电学范围内，**导体**可当作**介电常量趋于无穷的电介质**的极限。

电像法小结

- 理论根据： 唯一性定理。
- 基本思想：
 - 在域外放置适当的像电荷，等效导体边界上未知的感应或束缚电荷对域内电场的影响。
- 适用的对象：
 - 边界简单(球、无穷长圆柱、无穷大面)域内电荷简单(线、点)。
- 原则： 满足给定的边界条件；
还要满足原边值关系。